

# Computergraphik

Vorlesung im Wintersemester 2012/13

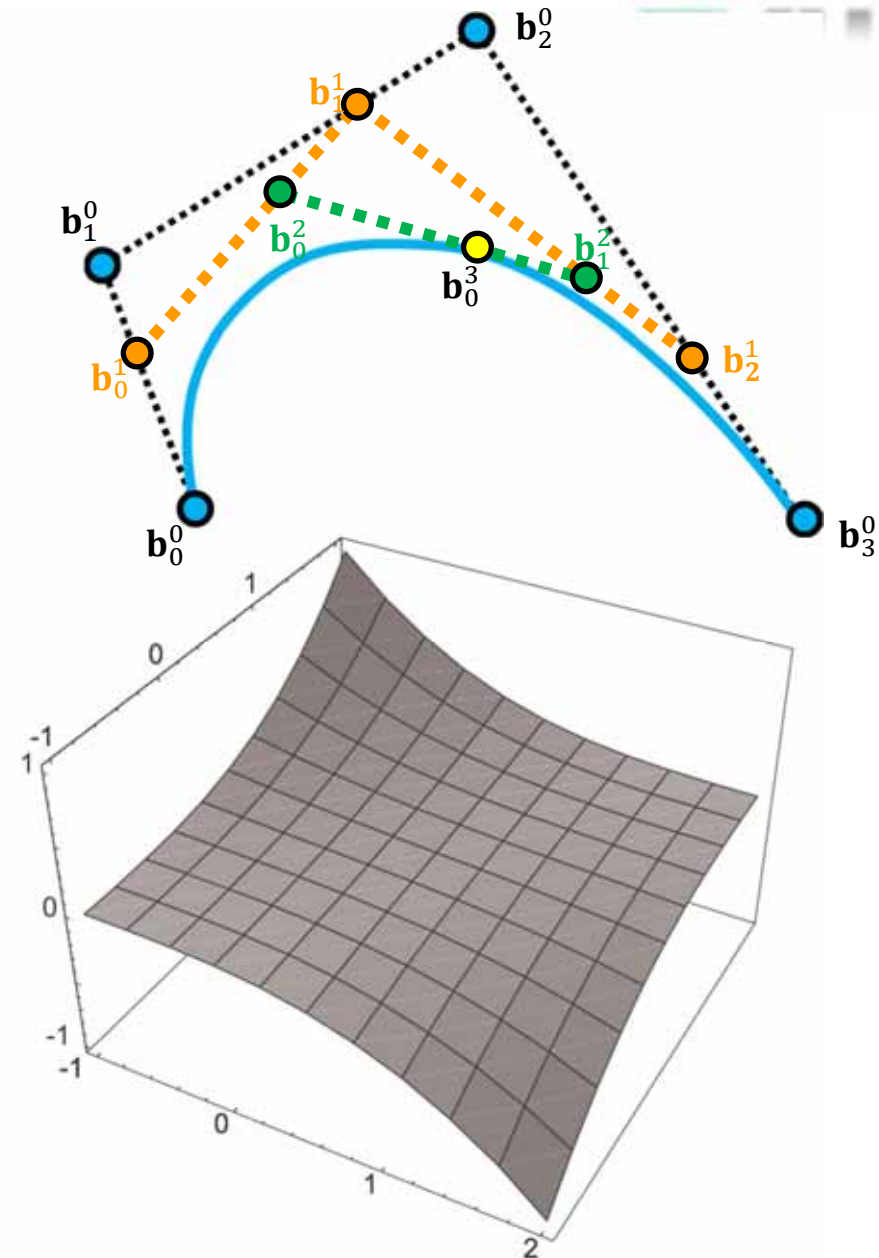
Kapitel 9: Kurven und Flächen

Prof. Dr.-Ing. Carsten Dachsbacher  
Lehrstuhl für Computergrafik  
Karlsruher Institut für Technologie



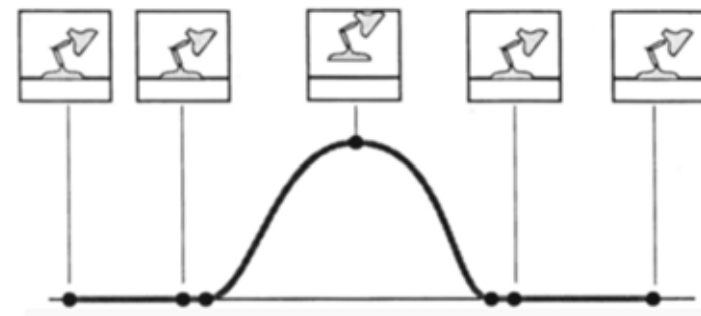
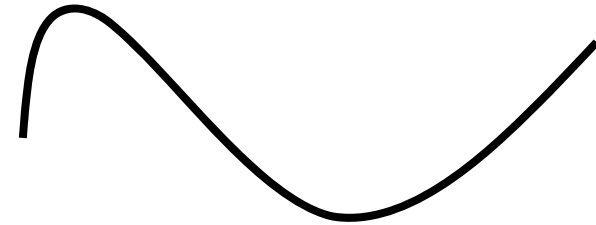
# Kurven und Flächen – Inhalt

- ▶ Polynomkurven
  - ▶ Bernstein Polynome
- ▶ Bézierkurven
  - ▶ de Casteljau-Algorithmus
- ▶ Béziersplines
- ▶ B-Splines
- ▶ Tensorproduktflächen



# Kurven und Splines

- ▶ Kurven in der Ebene oder in 3D
  - ▶ Spline = glatte, zusammengesetzte Kurven
- ▶ Anwendungen
  - ▶ 2D Illustration (z.B. Adobe Illustrator)
  - ▶ Schriften
  - ▶ 3D Modeling (Rotationskörper)
  - ▶ Farbverläufe
  - ▶ Animation, Trajektorien, Keyframe-Interpolation

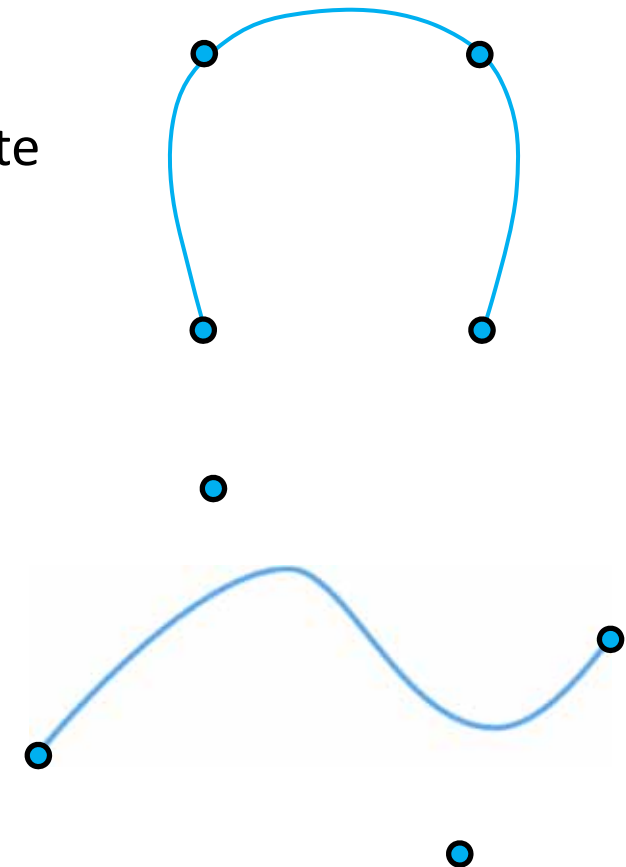


ACM © 1987 "Principles of traditional animation applied to 3D computer animation"

# Kurven und Splines

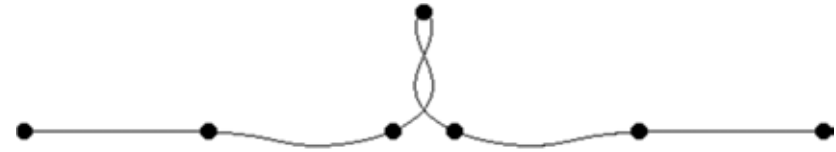
## Sichtweisen und Anwendungen

- ▶ Approximation und Interpolation
  - ▶ gegeben eine Menge von (Daten-)Punkten
  - ▶ wie können wir die Punkte mit einer Kurve approximieren oder interpolieren?
- ▶ Interpolation:  
die Kurve geht durch alle vorgegebenen Punkte
- ▶ Approximation:  
die Kurve geht nicht durch alle (oder auch gar keinen) Punkt



# Interpolation und Approximation

- ▶ Interpolation:
  - die Kurve geht durch alle vorgegebenen Punkte
  - ▶ klingt an sich sinnvoll
  - ▶ kann aber instabil sein und Überschwinger erzeugen



- ▶ Approximation:
  - die Kurve geht nicht durch alle (oder auch gar keinen) Punkt
  - ▶ erlaubt Kurven mit „angenehmen“ Eigenschaften
  - ▶ wir beschäftigen uns hiermit



# Kurven und Splines

## Sichtweisen und Anwendungen

- ▶ Approximation und Interpolation
  - ▶ gegeben eine Menge von (Daten-)Punkten
  - ▶ wie können wir die Punkte mit einer Kurve approximieren oder interpolieren?
- ▶ Modellierung und Benutzerschnittstelle
  - ▶ wie kann ein Benutzer eine (glatte) Kurve definieren?
  - ▶ heutzutage der wichtigere Aspekt in der CG
- ▶ wie kann man eine glatte Kurve definieren?
  - ▶ angeben einer parametrischen Funktion  $\begin{pmatrix} x \\ y \end{pmatrix} = f(u)$
  - ▶ implizite Beschreibung  $f(x, y) = 0$
  - ▶ mit der Maus zeichnen
  - ▶ platzieren einiger „Kontrollpunkte“ (unser Fokus)

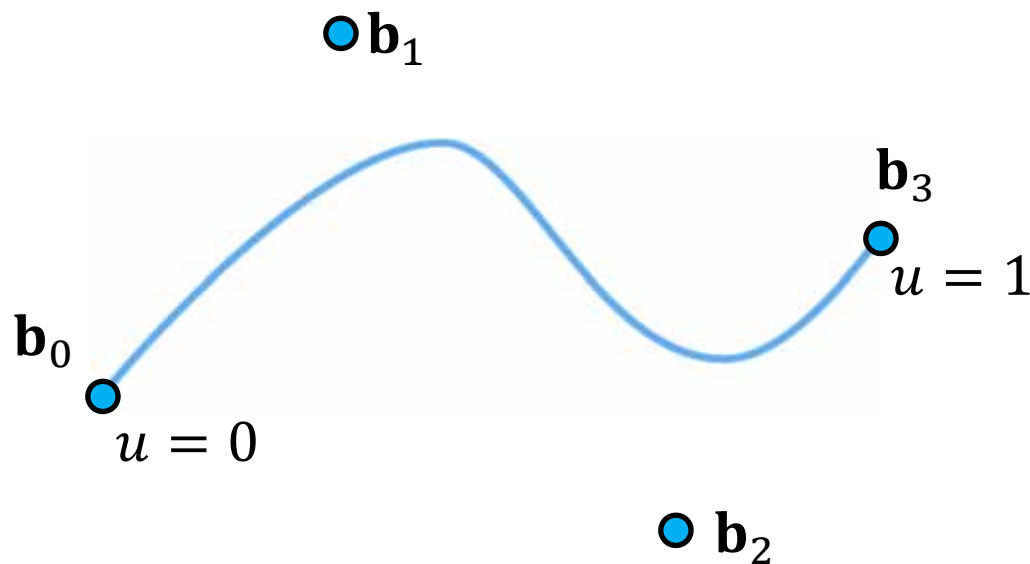
## Allgemeines

- ▶ festgelegt durch einige/wenige Kontrollpunkte
  - ▶ gut für Definition durch Benutzer und Speichern der Daten
- ▶ ergibt eine glatte parametrische Kurve  $P(u)$ 
  - ▶ definiert in kartesischen Koordinaten  $x(u)$  und  $y(u)$
  - ▶ praktisch für Animation, wenn  $u$  als Zeit interpretiert wird
  - ▶ praktisch für Tessellierung: wenn  $u$  diskretisiert wird kann die Kurve stückweise durch Liniensegmente approximiert werden
  - ▶ meist polynomial

# Beispiel: Kubische Bézierkurven

## Einführungsbeispiel kubische Bézierkurven

- ▶ definiert durch 4 Kontrollpunkte  $\mathbf{b}_i$
- ▶ die Kurve geht durch den ersten und letzten Kontrollpunkt ( $\mathbf{b}_0$  und  $\mathbf{b}_3$ )
- ▶ und approximiert die anderen beiden
- ▶ mathematische Beschreibung mit einem kubischen Polynom





# Beispiel: Kubische Bézierkurven

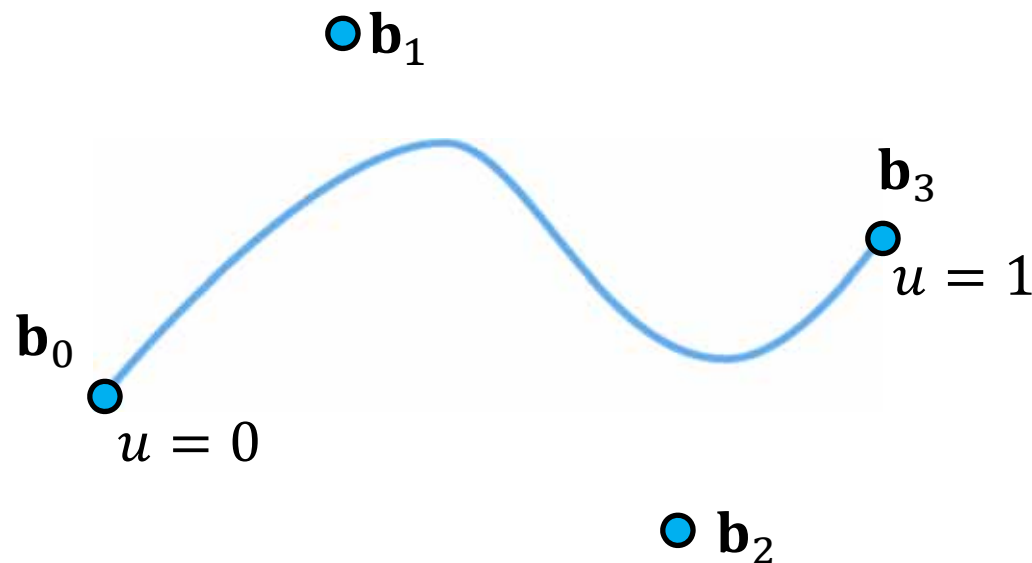
## Einführungsbeispiel kubische Bézierkurven

▶  $P(u) = (1 - u)^3 \mathbf{b}_0 + 3u(1 - u)^2 \mathbf{b}_1 + 3u^2(1 - u) \mathbf{b}_2 + u^3 \mathbf{b}_3$

▶ mit  $\mathbf{b}_0 = \begin{pmatrix} x_0 \\ y_0 \end{pmatrix}$ ,  $\mathbf{b}_1 = \begin{pmatrix} x_1 \\ y_1 \end{pmatrix}$ , ...

▶  $\Rightarrow x(u) = (1 - u)^3 x_0 + 3u(1 - u)^2 x_1 + 3u^2(1 - u) x_2 + u^3 x_3$

▶  $\Rightarrow y(u) = \dots$



# Beispiel: Kubische Bézierkurven

## Einführungsbeispiel kubische Bézierkurven

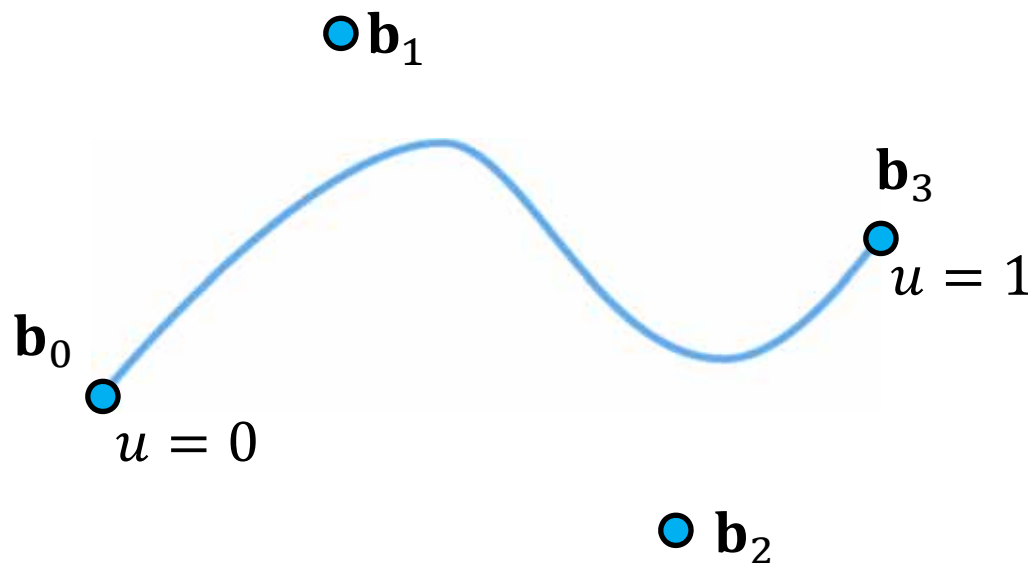
▶  $P(u) = (1 - u)^3 \mathbf{b}_0 + 3u(1 - u)^2 \mathbf{b}_1 + 3u^2(1 - u) \mathbf{b}_2 + u^3 \mathbf{b}_3$

▶ mit  $\mathbf{b}_0 = \begin{pmatrix} x_0 \\ y_0 \end{pmatrix}$ ,  $\mathbf{b}_1 = \begin{pmatrix} x_1 \\ y_1 \end{pmatrix}$ , ...

▶  $\Rightarrow x(u) = (1 - u)^3 x_0 + 3u(1 - u)^2 x_1 + 3u^2(1 - u) x_2 + u^3 x_3$

▶  $\Rightarrow y(u) = \dots$

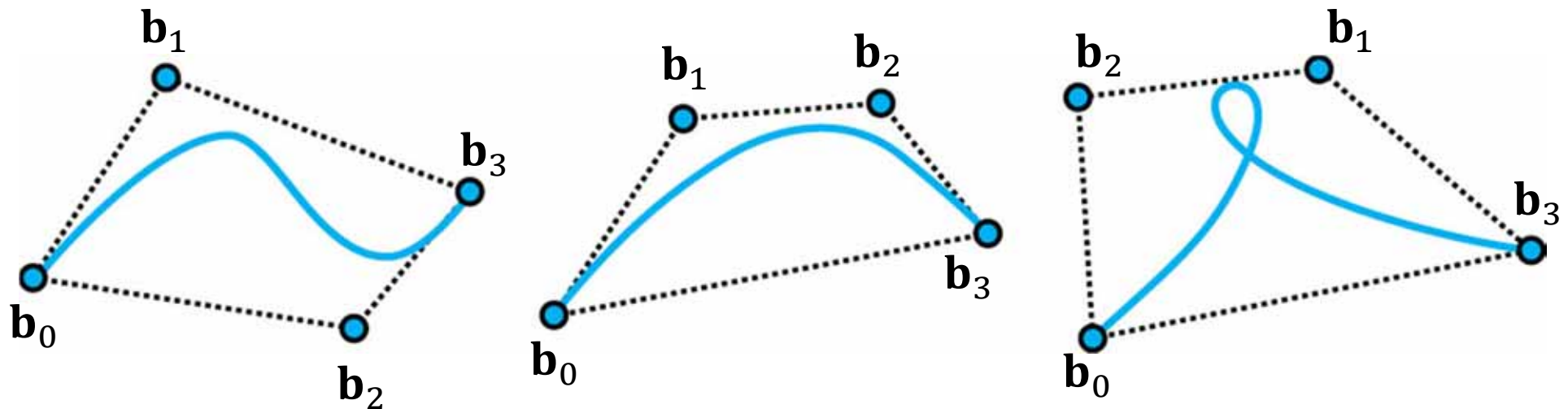
▶ was passiert, wenn wir  $u = 0$  oder  $u = 1$  setzen?



# Beispiel: Kubische Bézierkurven

## Einführungsbeispiel kubische Bézierkurven

- ▶ definiert durch 4 Kontrollpunkte  $\mathbf{b}_i$
- ▶ die Kurve geht durch den ersten und letzten Kontrollpunkt ( $\mathbf{b}_0$  und  $\mathbf{b}_3$ )
- ▶ Kurve ist bei  $\mathbf{b}_0$  tangential an  $\overline{\mathbf{b}_0\mathbf{b}_1}$  und bei  $\mathbf{b}_3$  tangential an  $\overline{\mathbf{b}_3\mathbf{b}_2}$
- ▶ eine Bézierkurve liegt innerhalb der konvexen Hülle ihrer Kontrollpunkte



# Wo kommen die Formeln her?



## ▶ Möglichkeit 1

- ▶ pure Magie, hab' ich aus dem Hut gezaubert, interpoliert bzw. approximiert erstaunlicherweise die Punkte

## ▶ Möglichkeit 2

- ▶ es ist eine Linearkombination von geeigneten Basispolynomen

## Grundlagen

- ▶ Polynom  $n$ -ten Grades:  $p(u) = a_n u^n + a_{n-1} u^{n-1} + \dots + a_1 u + a_0$ 
  - ▶ Koeffizienten des Polynoms  $a_n, a_{n-1}, \dots, a_1, a_0 \in \mathbb{R}$
  - ▶ wenn  $a_n \neq 0$ , dann ist  $n$  der Grad des Polynoms
- ▶ Menge aller Polynome  $p \in \mathbb{P}$ 
  - ▶ Polynome vom Grad höchstens  $n$ :  $\mathbb{P}_n = \{p \in \mathbb{P} : \text{grad}(p) \leq n\}$

## ▶ Polynomkurve

- ▶ eine  $d$ -dimensionale Polynomkurve ist eine parametrisierte Kurve  $u \mapsto P(u)$ :

$$P(u) = \sum_{i=0}^n \mathbf{a}_i u^i = \mathbf{a}_n u^n + \mathbf{a}_{n-1} u^{n-1} + \dots + \mathbf{a}_1 u + \mathbf{a}_0, \text{ mit } \mathbf{a}_i \in \mathbb{R}^d$$

- ▶ Menge der  $d$ -dimensionalen Polynomkurven von Grad  $n$ :  $\mathbb{P}_n^d$

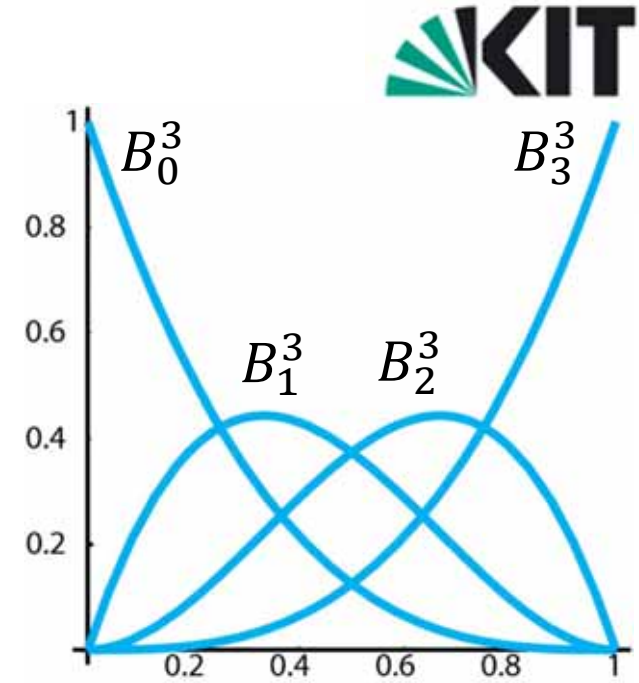
## Andere Basen von $\mathbb{P}_n$

- ▶  $\mathbb{P}$  und  $\mathbb{P}_n$  sind lineare Räume (Vektorräume)
  - ▶ Dimension  $\dim(\mathbb{P}_n) = n + 1$  (= Anzahl der Freiheitsgrade, hier  $\mathbf{a}_i$ )
  - ▶ Standardbasis für  $\mathbb{P}_n$  ist die Monombasis  $1, u, u^2, \dots, u^n$
- ▶ Beispiel:  $\mathbb{P}_3$ 
  - ▶ Standardbasis  $1, u, u^2, u^3$
  - ▶ Basis: Menge von „Vektoren“
    - ▶ Linearkombinationen dieser Basisvektoren spannen den Raum auf
    - ▶ kein Basisvektor durch Linearkombination der Anderen darstellbar
  - ▶ mögliche andere Basen aus denen mit Linearkombinationen alle kubischen Polynome dargestellt werden können:
    - ▶  $1, 1 + u, 1 + u + u^2, 1 + u - u^2 + u^3$
    - ▶  $u^3, u^3 + u^2, u^3 + u, u^3 + 1$
    - ▶ Lagrange-Polynome, ...
- ▶ was ist eine geschickte Basis für (Bézier-)Kurven?

# Bernstein-Polynome

## Kubische Bernstein-Polynome (Basis des $\mathbb{P}_3$ )

- ▶  $B_0^3(u) = (1 - u)^3$
- ▶  $B_1^3(u) = 3u(1 - u)^2$
- ▶  $B_2^3(u) = 3u^2(1 - u)$
- ▶  $B_3^3(u) = u^3$



# Bernstein-Polynome

## Kubische Bézierkurve in der Bernstein-Basis

▶  $F(u) = \mathbf{b}_0 B_0^3(u) + \mathbf{b}_1 B_1^3(u) + \mathbf{b}_2 B_2^3(u) + \mathbf{b}_3 B_3^3(u)$

▶  $\mathbf{b}_i$  sind die Koeffizienten

▶ die Kontrollpunkte  $\mathbf{b}_0, \mathbf{b}_1, \mathbf{b}_2, \mathbf{b}_3$  sind die Koordinaten der Kurve in der Bernstein-Basis (einer Basis für  $\mathbb{P}_3$ )

▶ festlegen einer Bézierkurve mit Kontrollpunkten ist intuitiv wie das Angeben von 2D Punkten mit  $x$  und  $y$  Koordinaten

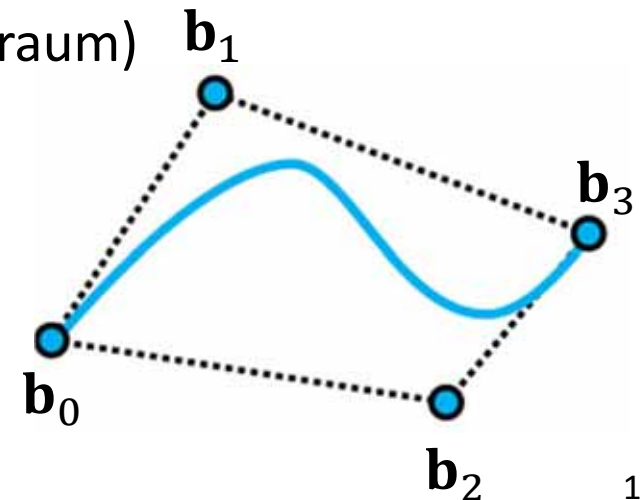
▶ Anmerkung:

▶ wir haben es mit 2 Vektorräumen zu tun

▶ die Ebene in der die Kurve liegt (2D Vektorraum)

▶ Raum der kubischen Polynome (4D Raum)

▶ die 2D Kontrollpunkte können einfach durch 3D Punkte ersetzt werden

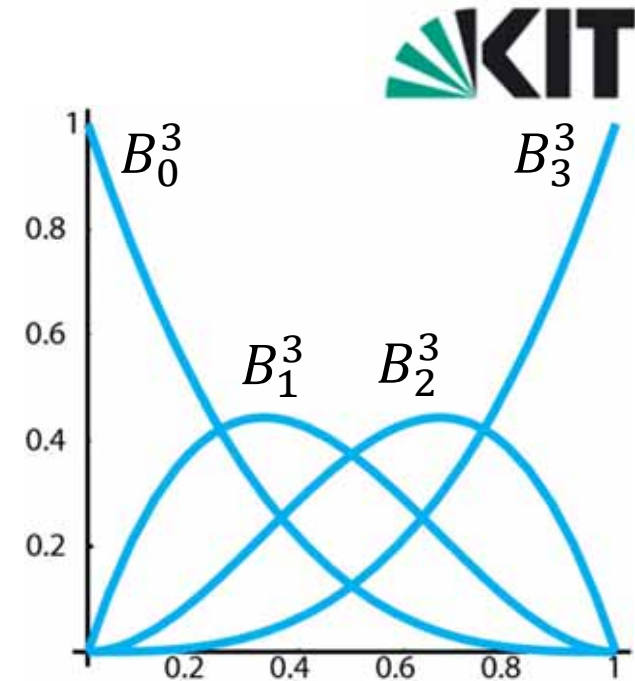




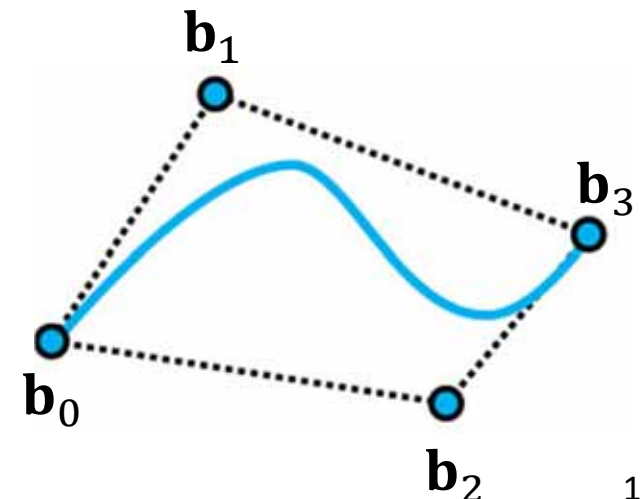
# Bernstein-Polynome

## Bernstein-Polynome als Gewichtungsfunktion

- ▶  $B_0^3(u) = (1 - u)^3$
- ▶  $B_1^3(u) = 3u(1 - u)^2$
- ▶  $B_2^3(u) = 3u^2(1 - u)$
- ▶  $B_3^3(u) = u^3$



- ▶ Bézierkurve:  $F(u) = \mathbf{b}_0 B_0^3(u) + \mathbf{b}_1 B_1^3(u) + \mathbf{b}_2 B_2^3(u) + \mathbf{b}_3 B_3^3(u)$
- ▶ anschaulich: jedes  $B_i^3$  legt den Einfluss von  $\mathbf{b}_i$  auf die Kurve an der Stelle  $u$  fest
  - ▶ erst hat  $\mathbf{b}_0$  den größten Einfluss, dann  $\mathbf{b}_1$ ,  $\mathbf{b}_2$  und dann  $\mathbf{b}_3$
  - ▶  $\mathbf{b}_1$  und  $\mathbf{b}_2$  haben nie vollen Einfluss und werden daher nicht interpoliert



# Bernstein-Polynome

## Definition (nach Sergeï N. Bernstein, 1912)

►  $i$ -tes Bernstein-Polynom vom Grad  $n$

$$B_i^n(u) = \binom{n}{i} u^i (1-u)^{n-i}, \text{ mit } i = 0, \dots, n$$

► man vereinbart  $B_i^n \equiv 0$  falls  $i < 0$  oder  $i > n$

► Binomialkoeffizient  $\binom{n}{k} := \frac{n!}{k!(n-k)!}$

► rekursive Definition:  $\binom{n}{0} := 1$ ,  $\binom{0}{k} := 0$  und  $\binom{n+1}{k+1} := \frac{n+1}{k+1} \binom{n}{k}$

► Pascalsches Dreieck:  $\binom{n+1}{k+1} := \binom{n}{k+1} + \binom{n}{k}$

► Symmetrie  $\binom{n}{k} = \binom{n}{n-k}$

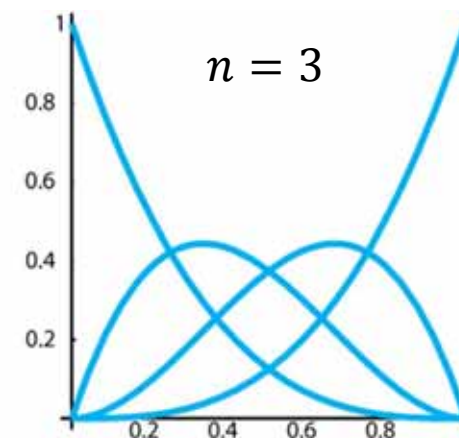
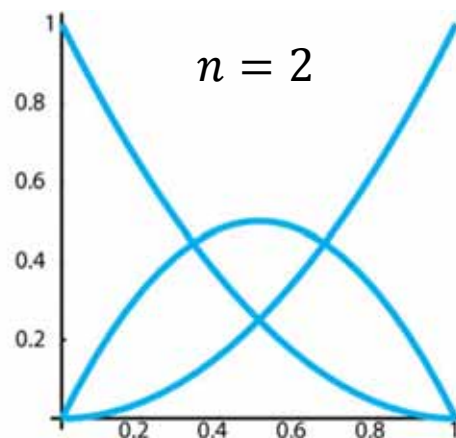
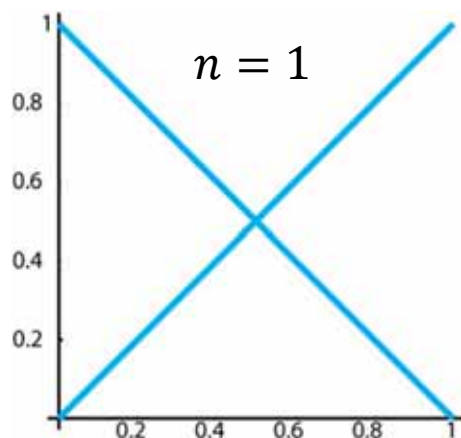
# Bernstein-Polynome

## Eigenschaften

- ▶  $i$ -tes Bernstein-Polynom vom Grad  $n$

$$B_i^n(u) = \binom{n}{i} u^i (1-u)^{n-i}, \text{ mit } i = 0, \dots, n$$

- ▶  $\sum_{i=0}^n B_i^n(u) = 1$  (Partition der 1, Beweis über binomischen Lehrsatz)
- ▶  $B_i^n(u) \geq 0$  für  $u \in [0; 1]$  (Positivität)
- ▶  $B_i^n(u) = u \cdot B_{i-1}^{n-1}(u) + (1-u) \cdot B_i^{n-1}(u)$  (Rekursion, wichtig!)
- ▶  $B_i^n(u) = B_{n-i}^n(1-u)$
- ▶  $B_i^n(u)$  hat Maximum in  $[0; 1]$  bei  $u = i/n$



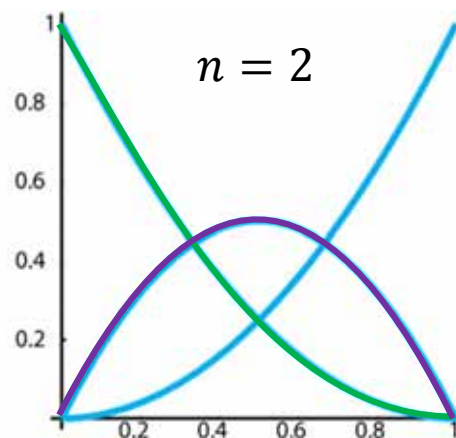
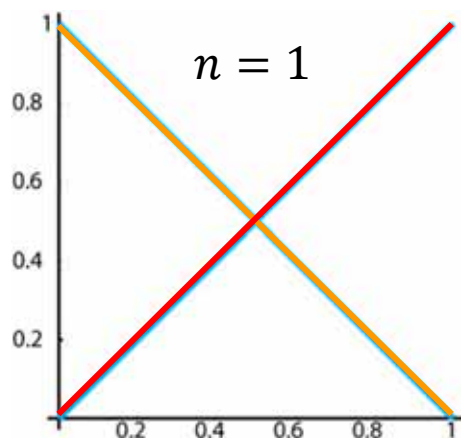
# Bernstein-Polynome

## Eigenschaften

- ▶  $i$ -tes Bernstein-Polynom vom Grad  $n$

$$B_i^n(u) = \binom{n}{i} u^i (1-u)^{n-i}, \text{ mit } i = 0, \dots, n$$

- ▶  $B_i^n(u) = u \cdot B_{i-1}^{n-1}(u) + (1-u) \cdot B_i^{n-1}(u)$  (Rekursion, wichtig!)
- ▶  $B_0^1(u) = u$  und  $B_1^1(u) = 1-u$
- ▶  $B_0^2(u) = u \cdot B_{-1}^1(u) + (1-u) \cdot B_0^1(u) = (1-u) \cdot u = 1-u^2$
- ▶  $B_1^2(u) = u \cdot B_0^1(u) + (1-u) \cdot B_1^1(u) = u \cdot u + (1-u)^2 = 2u^2 - 2u + 1$



# Bézierkurve

## Allgemeine Definition

- ▶ eine Polynomkurve

$$F(u) = \sum_{i=0}^n B_i^n(u) \mathbf{b}_i, \text{ mit } \mathbf{b}_i \in \mathbb{R}^d$$

heißt *Bézierkurve* vom Grad  $n$ , die Punkte  $\mathbf{b}_i$  heißen *Kontroll-* oder *Bézierpunkte* und bilden das *Kontrollpolygon*

- ▶ entwickelt von *Paul de Casteljau* 1959
- ▶ bekannt geworden durch *Pierre Étienne Bézier* 1962 für Karosseriedesign

# Basiswechsel



- ▶ die Bernstein-Polynome  $B_i^n$  bilden eine Basis des  $\mathbb{P}_n$ 
  - ▶ wie sind die Koeffizienten einer Bézierkurve bzgl. der Monombasis?  
Also: gesucht  $\{\mathbf{a}_i\}$  für  $F(u) = \sum_i \mathbf{a}_i u^i = \sum_i \mathbf{b}_i B_i^n(u)$
- ▶ Basiswechsel kann durch eine Matrix ausgedrückt werden
  - ▶ Satz aus der linearen Algebra:
    - ▶ geg. zwei Linearkombinationen, die einen Vektor  $\mathbf{v}$  darstellen mit  
 $\mathbf{v} = \sum_i \gamma_i \mathbf{c}_i = \sum_i \delta_i \mathbf{d}_i$ , dann gilt:

$$\begin{pmatrix} \vdots \\ \mathbf{c}_i \\ \vdots \end{pmatrix} = M \begin{pmatrix} \vdots \\ \mathbf{d}_i \\ \vdots \end{pmatrix} \Rightarrow \begin{pmatrix} \vdots \\ \delta_i \\ \vdots \end{pmatrix} = M^T \begin{pmatrix} \vdots \\ \gamma_i \\ \vdots \end{pmatrix}$$

▶ Beweis:

$$\mathbf{c}_i = \sum_j m_{ij} \mathbf{d}_j$$

$$\Rightarrow \mathbf{v} = \sum_i \gamma_i \sum_j m_{ij} \mathbf{d}_j = \sum_j \left( \sum_i \gamma_i m_{ij} \right) \mathbf{d}_j \stackrel{!}{=} \sum_j \delta_j \mathbf{d}_j$$

$$\Rightarrow \delta_j = \sum_i m_{ij} \gamma_i$$

# Basiswechsel



- ▶ die Bernstein-Polynome  $B_i^n$  bilden eine Basis des  $\mathbb{P}_n$ 
  - ▶ wie sind die Koeffizienten einer Bézierkurve bzgl. der Monombasis?  
Also:  $F(u) = \sum_i \mathbf{a}_i u^i = \sum_i \mathbf{b}_i B_i^n(u)$
- ▶ Basiswechsel kann durch eine Matrix ausgedrückt werden

▶ Beispiel  $n = 2$ :  $F(u) = \mathbf{b}_0 B_0^2(u) + \mathbf{b}_1 B_1^2(u) + \mathbf{b}_2 B_2^2(u)$

▶  $B_0^2(u) = \binom{2}{0} u^0 (1-u)^{2-0} = (1-u)^2 = 1 - 2u + u^2$

▶  $B_1^2(u) = \binom{2}{1} u^1 (1-u)^{2-1} = 2u(1-u) = 2u - 2u^2$

▶  $B_2^2(u) = \binom{2}{2} u^2 (1-u)^{2-2} = u^2$

▶ 
$$\begin{pmatrix} B_0^2 \\ B_1^2 \\ B_2^2 \end{pmatrix} = \begin{pmatrix} 1 & -2 & 1 \\ 0 & 2 & -2 \\ 0 & 0 & 1 \end{pmatrix} \begin{pmatrix} 1 \\ u \\ u^2 \end{pmatrix} \Rightarrow \begin{pmatrix} \mathbf{a}_0 \\ \mathbf{a}_1 \\ \mathbf{a}_2 \end{pmatrix} = \begin{pmatrix} 1 & 0 & 0 \\ -2 & 2 & 0 \\ 1 & -2 & 1 \end{pmatrix} \begin{pmatrix} \mathbf{b}_0 \\ \mathbf{b}_1 \\ \mathbf{b}_2 \end{pmatrix}$$

# Basiswechsel



- ▶ die Bernstein-Polynome  $B_i^n$  bilden eine Basis des  $\mathbb{P}_n$ 
  - ▶ wie sind die Koeffizienten einer Bézierkurve bzgl. der Monombasis?  
Also:  $F(u) = \sum_i \mathbf{a}_i u^i = \sum_i \mathbf{b}_i B_i^n(u)$
- ▶ Basiswechsel kann durch eine Matrix ausgedrückt werden

- ▶ Beispiel  $n = 3$ :  $F(u) = \mathbf{b}_0 B_0^3(u) + \mathbf{b}_1 B_1^3(u) + \mathbf{b}_2 B_2^3(u) + \mathbf{b}_3 B_3^3(u)$

- ▶  $B_0^3(u) = (1 - u)^3$

- ▶  $B_1^3(u) = 3u(1 - u)^2$

- ▶  $B_2^3(u) = 3u^2(1 - u)$

- ▶  $B_3^3(u) = u^3$

- ▶  $F(u) = (\mathbf{b}_0, \mathbf{b}_1, \mathbf{b}_2, \mathbf{b}_3) \begin{pmatrix} 1 & -3 & 3 & -1 \\ 0 & 3 & -6 & 3 \\ 0 & 0 & 3 & -3 \\ 0 & 0 & 0 & 1 \end{pmatrix} \begin{pmatrix} 1 \\ u \\ u^2 \\ u^3 \end{pmatrix}$



# Zusammenfassung



- ▶ kubische Polynome bilden einen Vektorraum
- ▶ die Bernstein-Basis ist die kanonische Darstellung für Bézierkurven
  - ▶ kann als Gewichtungsfunktion für die Kontrollpunkte gesehen werden
  - ▶ Kontrollpunkte sind die Koordinaten der Kurve in der Bernstein-Basis
- ▶ Basiswechsel elegant mit Matrizen

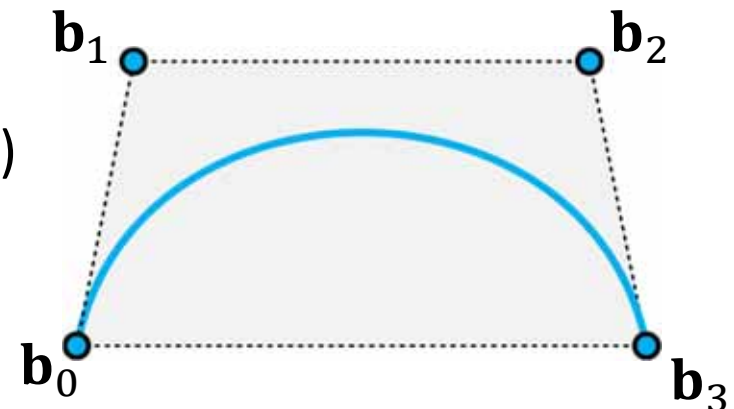
# Bézierkurve

## Eigenschaften (Lemma von Bézier)

- ▶ für  $F(u) = \sum_{i=0}^n B_i^n(u) \mathbf{b}_i$  gilt
  - ▶  $F(u)$  liegt in der abgeschlossenen konvexen Hülle des Kontrollpolygons (für  $u \in [0; 1]$ ,  $F(u)$  ist Konvexkombination der  $\{\mathbf{b}_i\}$ )

- ▶ Grund:

- ▶  $\sum_{i=0}^n B_i^n(u) = 1$  (Partition der 1)
- ▶  $B_i^n(u) \geq 0$  für  $u \in [0; 1]$  (Positivität)



- ▶ **Endpunktinterpolation**  $F(0) = \mathbf{b}_0$  und  $F(1) = \mathbf{b}_3$
- ▶ **Tangentenbedingung**  $F'(0) = n(\mathbf{b}_1 - \mathbf{b}_0)$  und  $F'(1) = n(\mathbf{b}_3 - \mathbf{b}_2)$
- ▶ allgemein  $F'(u) = n \sum_{i=0}^{n-1} B_i^{n-1}(u) (\mathbf{b}_{i+1} - \mathbf{b}_i)$   
 $F''(u) = n(n-1) \sum_{i=0}^{n-2} B_i^{n-2}(u) (\mathbf{b}_{i+2} - 2\mathbf{b}_{i+1} + \mathbf{b}_i)$

## Eigenschaften (Lemma von Bézier)

► **affine Invarianz**: sei  $\varphi(\mathbf{x}) = A\mathbf{x} + \mathbf{t}$  eine affine Abbildung, dann gilt

$$\varphi(F(u)) = \sum_{i=0}^n B_i^n(u) \varphi(\mathbf{b}_i)$$

► d.h. um die Kurve zu transformieren genügt es, die  $\{\mathbf{b}_i\}$  zu transf.

► Beweis: lineare Transformation  $A$  für  $n = 2$ :

$$\begin{aligned} \text{► } F_A(u) &= A \left( (\mathbf{b}_0, \mathbf{b}_1, \mathbf{b}_2) \begin{pmatrix} 1 & -2 & 1 \\ 0 & 2 & -2 \\ 0 & 0 & 1 \end{pmatrix} \begin{pmatrix} 1 \\ u \\ u^2 \end{pmatrix} \right) = \\ &= (A(\mathbf{b}_0, \mathbf{b}_1, \mathbf{b}_2)) \begin{pmatrix} 1 & -2 & 1 \\ 0 & 2 & -2 \\ 0 & 0 & 1 \end{pmatrix} \begin{pmatrix} 1 \\ u \\ u^2 \end{pmatrix} \end{aligned}$$

## Eigenschaften (Lemma von Bézier)

► **affine Invarianz**: sei  $\varphi(\mathbf{x}) = A\mathbf{x} + \mathbf{t}$  eine affine Abbildung, dann gilt

$$\varphi(F(u)) = \sum_{i=0}^n B_i^n(u) \varphi(\mathbf{b}_i)$$

► d.h. um die Kurve zu transformieren genügt es, die  $\{\mathbf{b}_i\}$  zu transf.

► Beweis: Translation  $\mathbf{t}$  für  $n = 2$ :

$$\begin{aligned} \text{► } F_{\mathbf{t}}(u) &= (\mathbf{b}_0 + \mathbf{t})B_0^2(u) + (\mathbf{b}_1 + \mathbf{t})B_1^2(u) + (\mathbf{b}_2 + \mathbf{t})B_2^2(u) = \\ &= \mathbf{b}_0B_0^2(u) + \mathbf{b}_1B_1^2(u) + \mathbf{b}_2B_2^2(u) + \mathbf{t} \underbrace{\left( B_0^2(u) + B_1^2(u) + B_2^2(u) \right)}_{=1} = \\ &= F(u) + \mathbf{t} \end{aligned}$$

► Beweis für  $\varphi(\mathbf{x}) = A\mathbf{x} + \mathbf{t}$  und andere  $n$  analog

# Bézierkurve

## Eigenschaften (Lemma von Bézier)

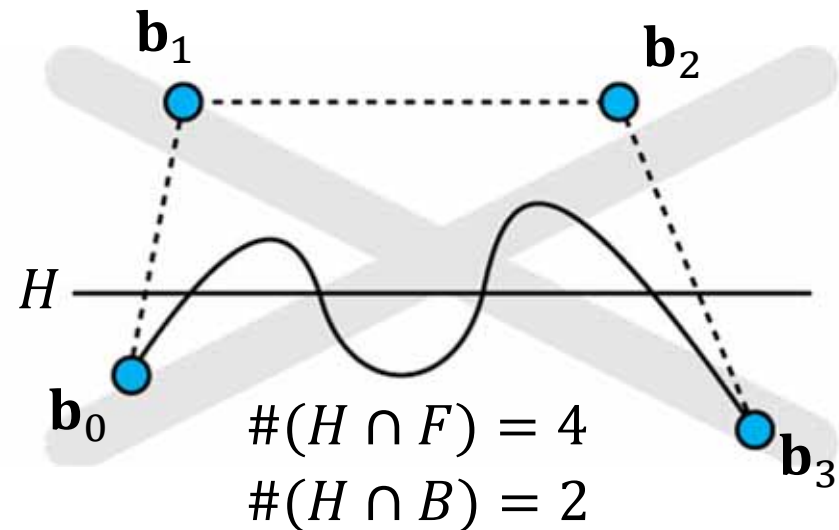
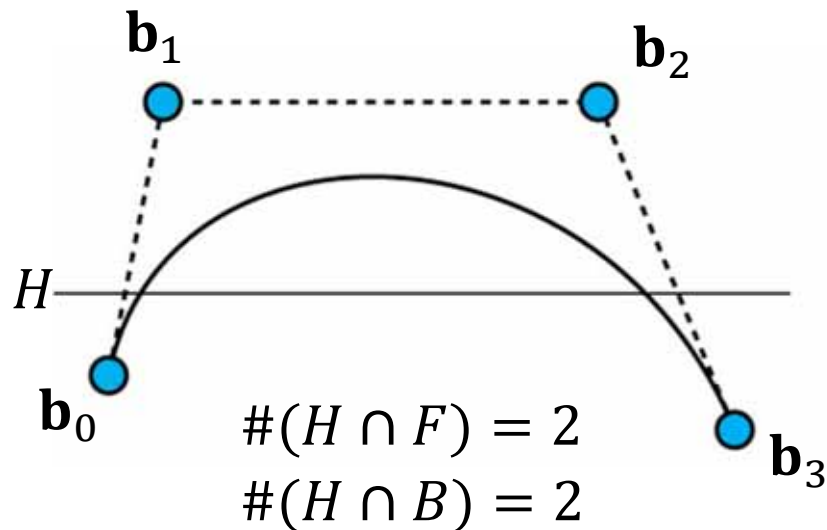
▶ für  $F(u) = \sum_{i=0}^n B_i^n(u) \mathbf{b}_i$  gilt

▶ **Variationsreduzierung** („variation diminishing property“):

„Eine Bézier-Kurve  $F$  wackelt nicht stärker als ihr Kontrollpolygon  $B$ “

▶ sei  $H$  eine beliebige Hyperebene in  $\mathbb{R}^d$  (Gerade in  $\mathbb{R}^2$ , Ebene in  $\mathbb{R}^3$ )  
dann gilt  $\#(H \cap F) \leq \#(H \cap B)$

▶ Beweis: G. Farin. „Curves and Surfaces for Computer-Aided Geometric Design: A Practical Guide“. Academic Press, 4. Auflage, 1997



# de Casteljau-Algorithmus



## Effiziente Auswertung und Unterteilung von Bézierkurven

- ▶ möglich durch die rekursive Darstellung der Bernstein-Polynome
  - ▶ zur Erinnerung:  $B_i^n(u) = u \cdot B_{i-1}^{n-1}(u) + (1 - u) \cdot B_i^{n-1}(u)$
  - ▶  $\mathbf{b}_i^0 := \mathbf{b}_i$
  - ▶  $\mathbf{b}_i^j := (1 - u) \cdot \mathbf{b}_i^{j-1} + u \cdot \mathbf{b}_{i+1}^{j-1}, i = 0, \dots, n - j$
  - ▶  $\Rightarrow \mathbf{b}_0^n = F(u)$  ist ein Punkt auf der Bézierkurve
  
- ▶ Berechnung von  $F(u) = \sum_{i=0}^n B_i^n(u) \mathbf{b}_i$  durch fortgesetzte lineare Interpolation, **ohne die Bernstein-Polynome zu bestimmen**

# de Casteljau-Algorithmus

## Effiziente Auswertung und Unterteilung von Bézierkurven

▶ Beispiel: quadratische Beziérkurve

$$\text{▶ } B_0^2(u) = \binom{2}{0} u^0 (1-u)^{2-0} = (1-u)^2$$

$$\text{▶ } B_1^2(u) = \binom{2}{1} u^1 (1-u)^{2-1} = 2u(1-u)$$

$$\text{▶ } B_2^2(u) = \binom{2}{2} u^2 (1-u)^{2-2} = u^2$$

▶ rekursive Auswertung

$$\text{▶ } \mathbf{b}_i^0 := \mathbf{b}_i$$

$$\text{▶ } \mathbf{b}_i^j := (1-u) \cdot \mathbf{b}_i^{j-1} + u \cdot \mathbf{b}_{i+1}^{j-1}, \quad i = 0, \dots, n-j$$

$$\text{▶ } \mathbf{b}_i^2 = (1-u) \cdot \mathbf{b}_i^1 + u \cdot \mathbf{b}_{i+1}^1$$

$$= (1-u) \cdot \left( (1-u) \cdot \mathbf{b}_i^0 + u \cdot \mathbf{b}_{i+1}^0 \right) + u \cdot \left( (1-u) \cdot \mathbf{b}_{i+1}^0 + u \cdot \mathbf{b}_{i+2}^0 \right)$$

$$= (1-u)^2 \cdot \mathbf{b}_i^0 + 2u(1-u) \cdot \mathbf{b}_{i+1}^0 + u \cdot u \cdot \mathbf{b}_{i+2}^0$$

# de Casteljau-Algorithmus

## Effiziente Auswertung und Unterteilung von Bézierkurven

► möglich durch die rekursive Darstellung der Bernstein-Polynome

►  $\mathbf{b}_i^0 := \mathbf{b}_i$

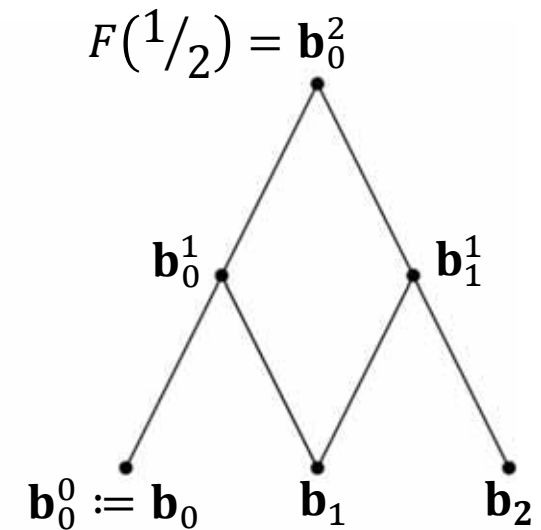
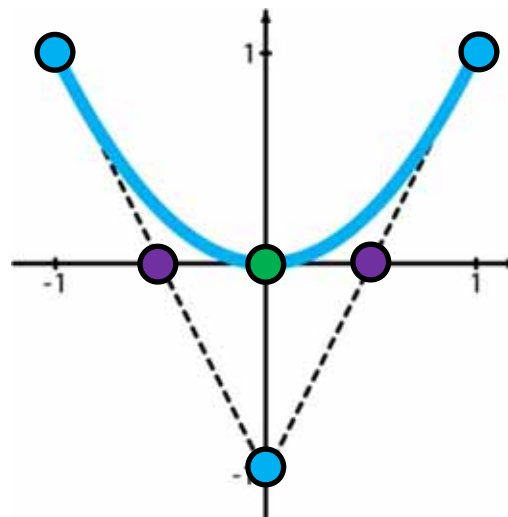
►  $\mathbf{b}_i^j := (1 - u) \cdot \mathbf{b}_i^{j-1} + u \cdot \mathbf{b}_{i+1}^{j-1}, i = 0, \dots, n - j$

► Beispiel:  $\mathbf{b}_0 = \begin{pmatrix} -1 \\ 1 \end{pmatrix}$ ,  $\mathbf{b}_1 = \begin{pmatrix} 0 \\ -1 \end{pmatrix}$ ,  $\mathbf{b}_2 = \begin{pmatrix} 1 \\ 1 \end{pmatrix}$

►  $\mathbf{b}_0^1 = \frac{1}{2}\mathbf{b}_0 + \frac{1}{2}\mathbf{b}_1 = \begin{pmatrix} -1/2 \\ 0 \end{pmatrix}$

►  $\mathbf{b}_1^1 = \frac{1}{2}\mathbf{b}_1 + \frac{1}{2}\mathbf{b}_2 = \begin{pmatrix} 1/2 \\ 0 \end{pmatrix}$

►  $\mathbf{b}_0^2 = \frac{1}{2}\mathbf{b}_0^1 + \frac{1}{2}\mathbf{b}_1^1 = \begin{pmatrix} 0 \\ 0 \end{pmatrix}$





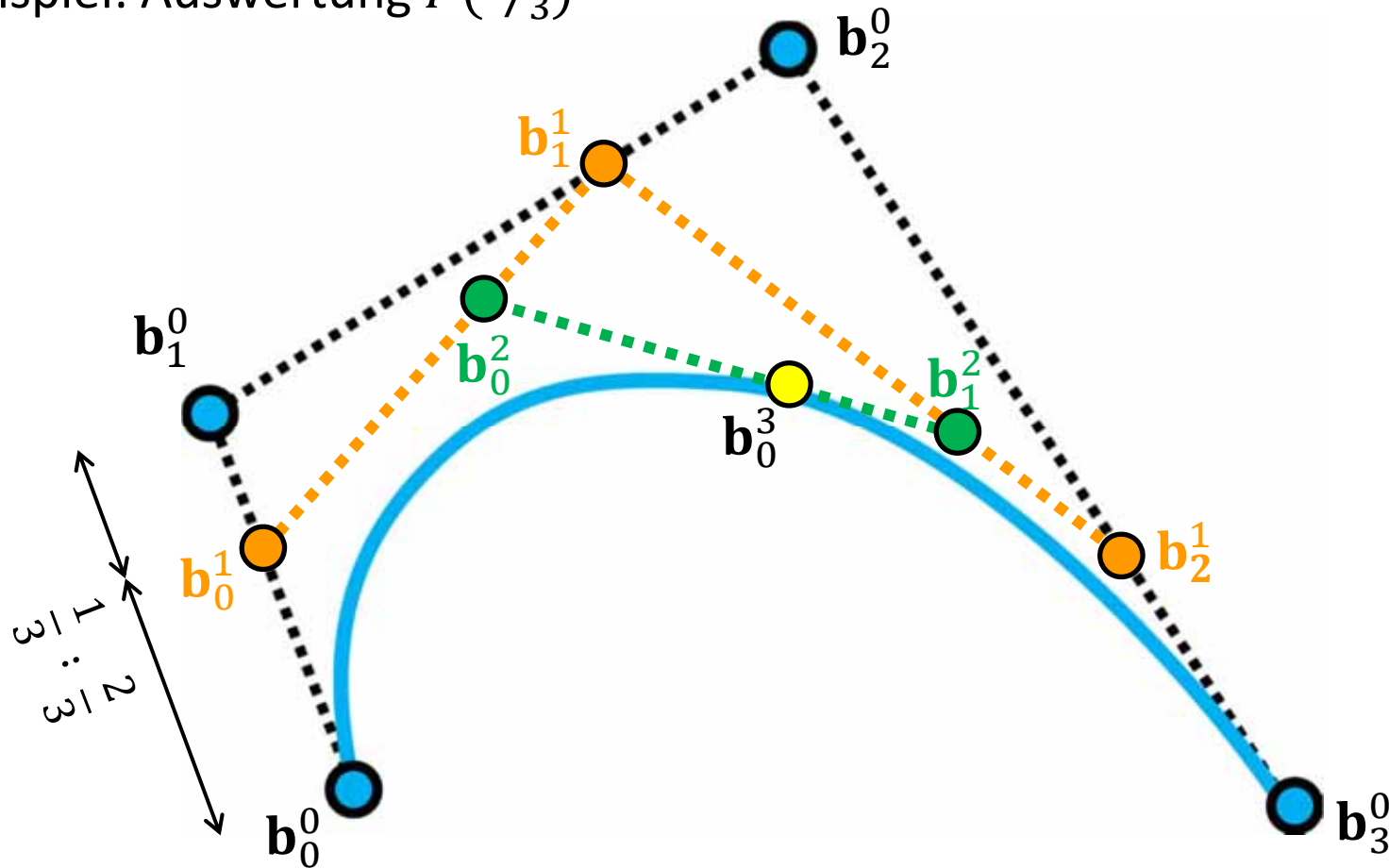
# de Casteljau-Algorithmus

## Effiziente Auswertung: grafische Interpretation/Konstruktion

- ▶  $\mathbf{b}_i^j$  ist lineare Interpolation gemäß  $u$  zwischen  $\mathbf{b}_i^{j-1}$  und  $\mathbf{b}_{i+1}^{j-1}$ :

$$\mathbf{b}_i^j := (1 - u) \cdot \mathbf{b}_i^{j-1} + u \cdot \mathbf{b}_{i+1}^{j-1}$$

- ▶ Beispiel: Auswertung  $F(2/3)$



# Parameterintervalle



- ▶ wir brauchen Folgendes nur für die Ideen der nächsten Folien...
- ▶ Bernstein-Polynome können auf ein beliebiges Parameterintervall  $\Delta := [s; t]$  verallgemeinert werden

$$B_i^{\Delta, n}(u) = \frac{1}{(t-s)^n} \binom{n}{i} (u-s)^i (t-u)^{n-i}$$

- ▶ Herleitung:  $\varphi(u) = \frac{u-s}{t-s}$  einsetzen in  $B_i^n(\varphi(u)) = B_i^{\Delta, n}(u)$
- ▶ wenn  $u$  von  $s$  nach  $t$  läuft, so läuft  $\varphi(u)$  von 0 bis 1
- ▶  $\varphi(u)$  ist baryzentrische Koordinate von  $u$  bzgl.  $s$  und  $t$
- ▶ wir werden im Folgenden einfache und verallgemeinerte Bernstein-Polynome verwenden

# de Casteljau-Algorithmus

## Unterteilung von Bézierkurven

► Bézierkurve  $F(u) = \sum_{i=0}^n B_i^{\Delta,n}(u) \mathbf{b}_i$  und  $\Delta = [s, t]$ ,  $q \in [s, t]$

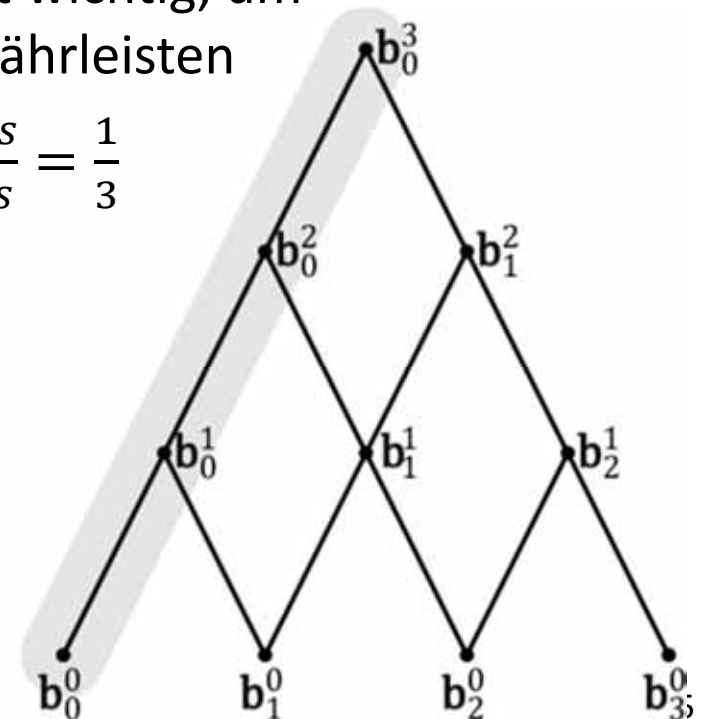
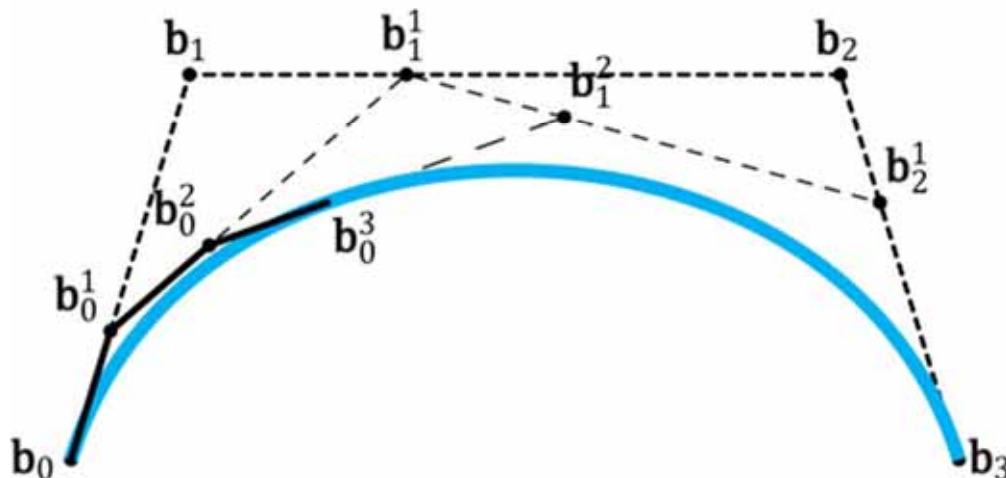
►  $F_l(u) = \sum_{i=0}^n B_i^{\Delta_l,n}(u) \mathbf{b}_0^i(q)$  über  $\Delta_l = [s, q]$

►  $F_r(u) = \sum_{i=0}^n B_i^{\Delta_r,n}(u) \mathbf{b}_i^{n-i}(q)$  über  $\Delta_r = [q, t]$

►  $\mathbf{b}_i^j(q)$  sind die Punkte des de Casteljau-Algorithmus bei  $q$

► Anm. Beachtung der Parameterintervalle ist wichtig, um die Stetigkeit an der Anschlussstelle zu gewährleisten

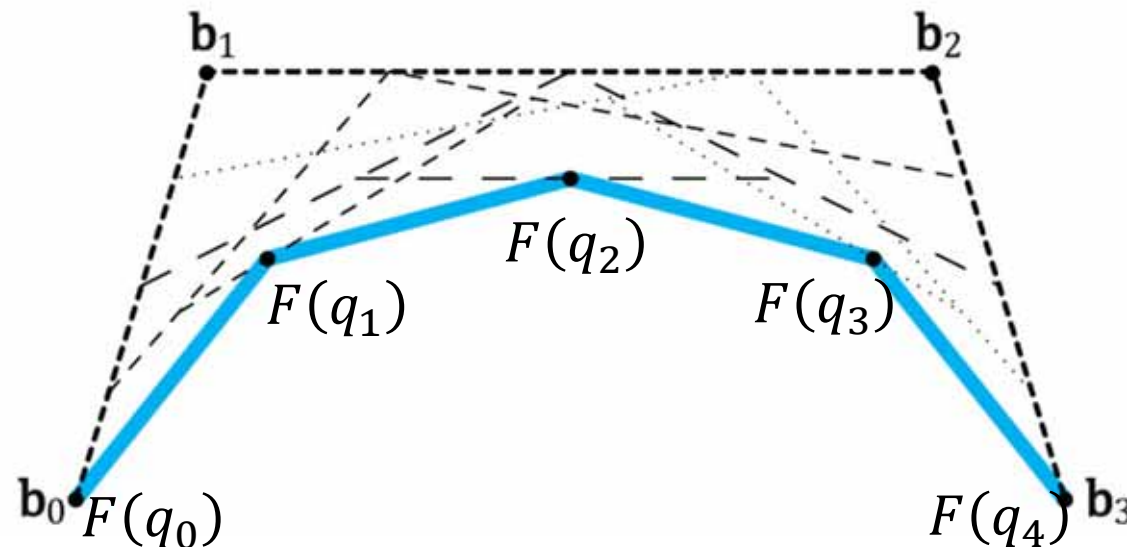
► Beispiel: linke Teilkurve für  $n = 3$  und  $q = \frac{u-s}{t-s} = \frac{1}{3}$



# Zeichnen einer Bézierkurve

## Algorithmus 1

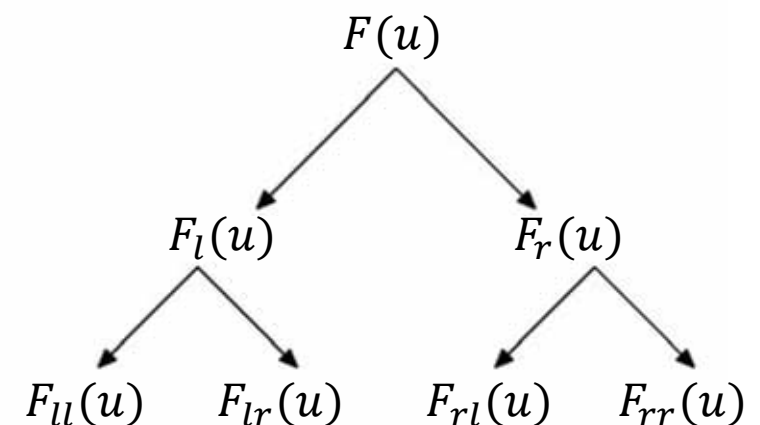
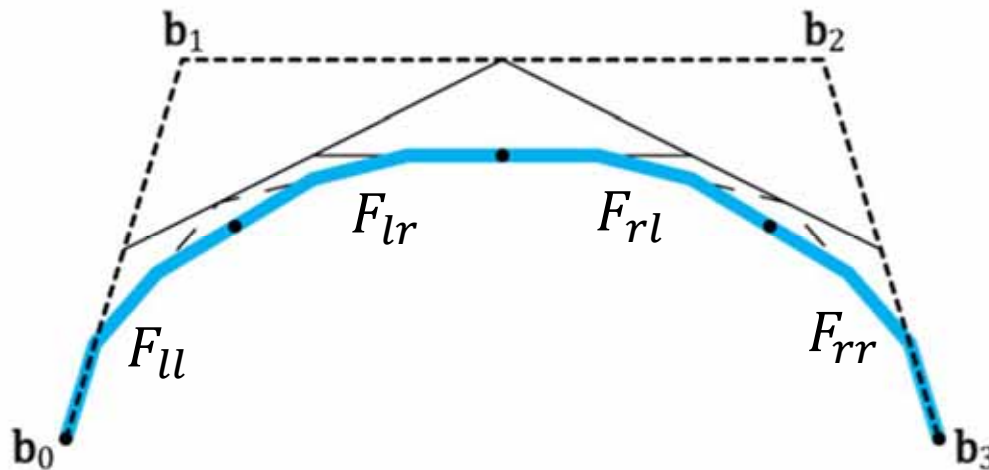
- ▶ werte  $F(u)$  an  $m$  Parametern  $q_j$  mit  $q_j < q_{j+1}$  aus  
(mittels de Casteljau oder Auswerten der Bernstein-Polynome)
- ▶ zeichne den Polygonzug  $F(q_0), \dots, F(q_{m-1})$
- ▶ Beispiel:  $n = 3$ ,  $\Delta = [0; 1]$ ,  $q_0 = 0$ ,  $q_1 = \frac{1}{4}$ ,  $q_2 = \frac{1}{2}$ ,  $q_3 = \frac{3}{4}$ ,  $q_4 = 1$ 
  - ▶ drei Auswertungen, da  $F(q_0)$  und  $F(q_4)$  bekannt sind



# Zeichnen einer Bézierkurve

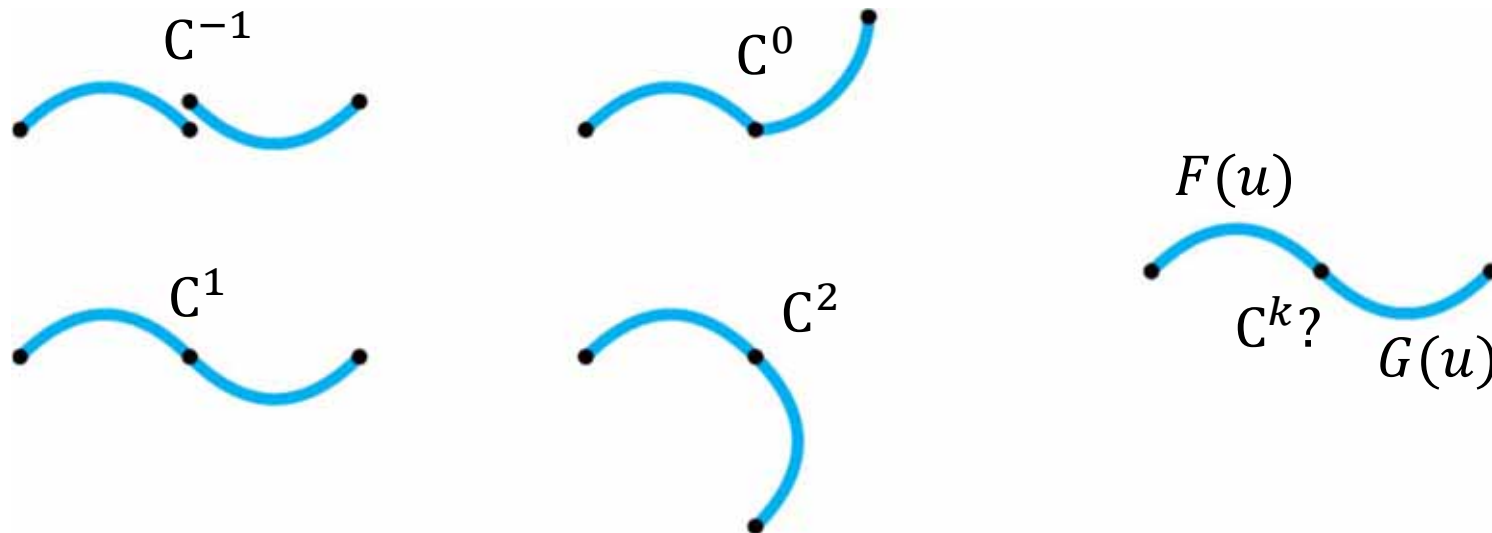
## Algorithmus 2

- ▶ unterteile  $F(u)$  in der parametrischen Mitte ( $q = \frac{s+t}{2}$ ) in  $F_l(u)$  und  $F_r(u)$  mittels de Casteljau
- ▶ führe rekursiv bis zu einer Rekursionstiefe  $r$  fort
- ▶ zeichne die Kontrollpolygone der jeweils letzten Rekursion
  
- ▶ Beispiel:  $n = 3, r = 2$ 
  - ▶ gleicher Aufwand wie Algorithmus 1, aber vgl. Ergebnis!



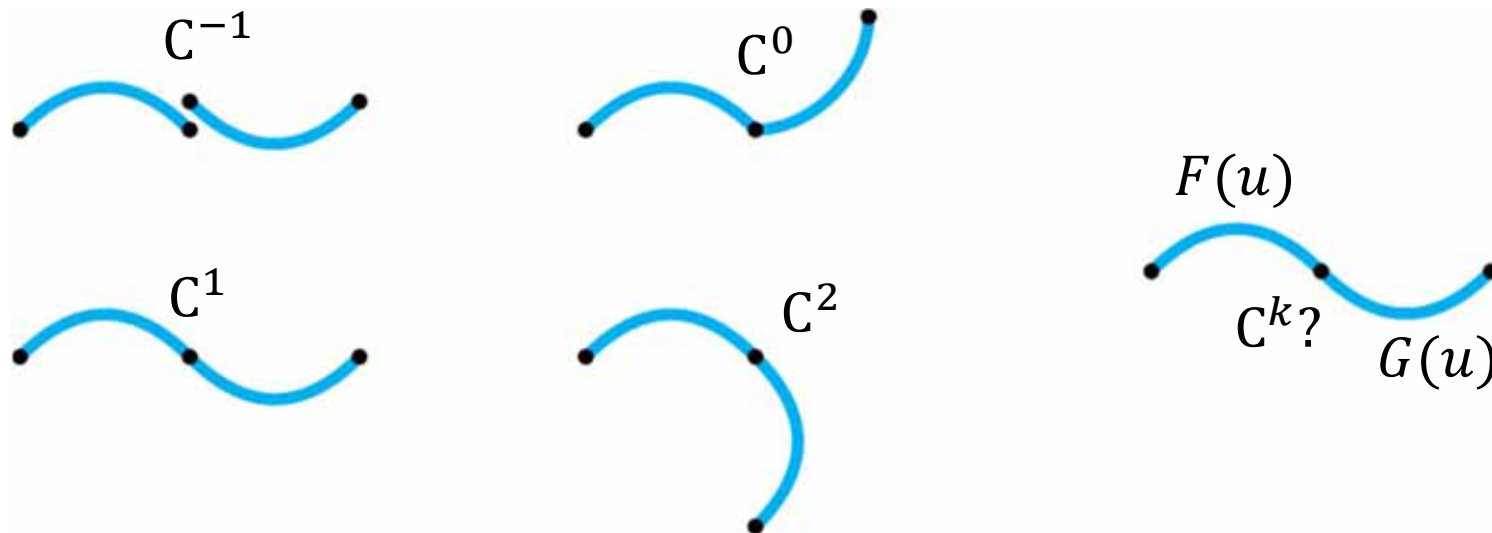
# Bézier-Splines

- ▶ Modellieren von komplexeren Formen mit Bézierkurven
  - ▶ 1) verwende eine Bézierkurve von hohem Grad
    - ▶ u.U. numerische Probleme, aber noch wichtiger: jeder Kontrollpunkt beeinflusst die ganze Kurve → schwierig bei der Modellierung
  - ▶ 2) füge mehrere Bézierkurven niedrigen Grades stückweise aneinander
- ▶ **Bézier-Spline**: stückweise polynomielle Kurve, deren einzelne Abschnitte durch Bézierkurven beschrieben sind
  - ▶ (parametrische) Stetigkeit des Überganges? Glattheit der Kurve?



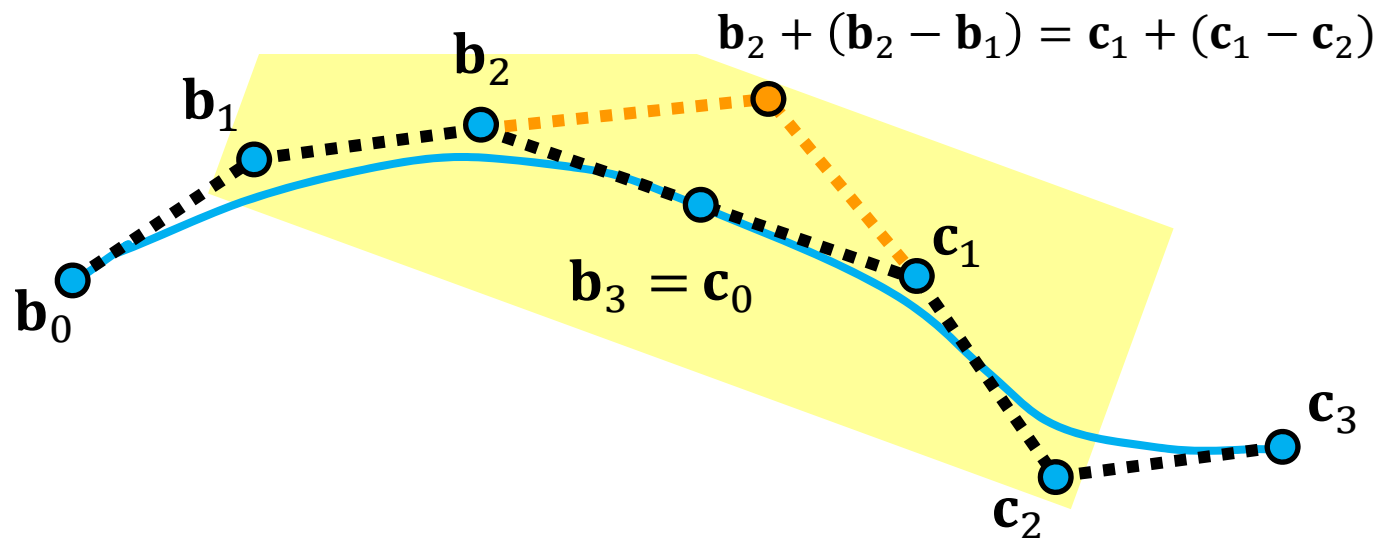
# Bézier-Splines

- ▶ **Bézier-Spline**: stückweise polynomielle Kurve, deren einzelne Abschnitte durch Bézierkurven beschrieben sind
- ▶ zwei Polynomkurven  $F: [r, s] \mapsto \mathbb{R}^d$  und  $G: [s, t] \mapsto \mathbb{R}^d$  sind  $C^k$ -stetig bei  $s$ , wenn  $F(s) = G(s)$ ,  $F'(s) = G'(s)$ , ...,  $F^{(k)}(s) = G^{(k)}(s)$ 
  - ▶  $C^0$ -stetig = stetig, keine Sprungstellen
  - ▶  $C^1$ -stetig =  $C^0$ -stetig + gleicher Tangentenvektor
  - ▶  $C^2$ -stetig =  $C^1$ -stetig + gleicher Schmiegekreis



## $C^k$ -Übergang zweier Bézierkurven

- ▶  $F(u) = \sum_{i=0}^n B_i^n(u) \mathbf{b}_i$  und  $G(u) = \sum_{i=0}^n B_i^n(u) \mathbf{c}_i$ 
  - ▶  $C^0$ -stetig  $\Leftrightarrow F(1) = G(0) \Leftrightarrow \mathbf{b}_n = \mathbf{c}_0$
  - ▶  $C^1$ -stetig  $\Leftrightarrow F'(1) = G'(0) \Leftrightarrow \mathbf{b}_n - \mathbf{b}_{n-1} = \mathbf{c}_1 - \mathbf{c}_0$  (und  $\mathbf{b}_n = \mathbf{c}_0$ )
  - ▶  $C^2$ -stetig  $\Leftrightarrow C^1$ -stetig und  $F''(1) = G''(0)$   
 $\Leftrightarrow \mathbf{b}_{n-1} + (\mathbf{b}_{n-1} - \mathbf{b}_{n-2}) = \mathbf{c}_1 + (\mathbf{c}_1 - \mathbf{c}_2)$
- ▶ Anm. bei verallgemeinerten Bernstein-Polynomen spielen die Verhältnisse der Intervallgrößen eine Rolle (nicht in dieser Vorlesung)
- ▶ Beispiel: kubische Bézierkurven und „A-Frame“-Eigenschaft

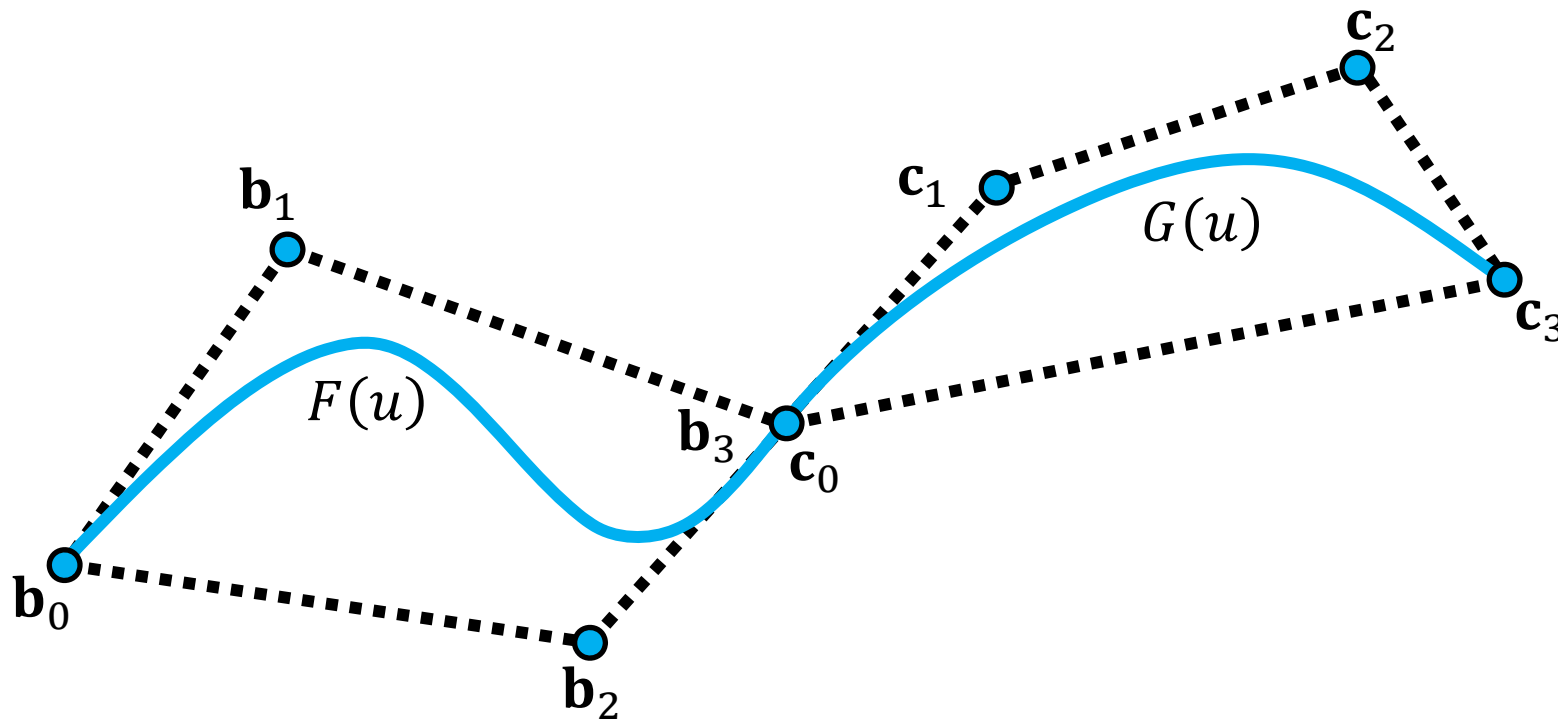




# Bézier-Splines

## Beispiel: Übergang zweier kubischer Bézierkurven

- ▶  $F(u) = \sum_{i=0}^3 B_i^3(u) \mathbf{b}_i$  und  $G(u) = \sum_{i=0}^3 B_i^3(u) \mathbf{c}_i$ 
  - ▶  $C^0$ -stetig  $\Leftrightarrow F(1) = G(0) \Leftrightarrow \mathbf{b}_3 = \mathbf{c}_0$
  - ▶  $C^1$ -stetig  $\Leftrightarrow F'(1) = G'(0) \Leftrightarrow \mathbf{b}_3 - \mathbf{b}_2 = \mathbf{c}_1 - \mathbf{c}_0$  (und  $\mathbf{b}_3 = \mathbf{c}_0$ )
  - ▶ nicht  $C^2$ -stetig, weil  $\mathbf{b}_2 + (\mathbf{b}_2 - \mathbf{b}_1) \neq \mathbf{c}_1 + (\mathbf{c}_1 - \mathbf{c}_2)$
- ▶ Asymmetrie: einige Kontrollpunkte werden interpoliert, andere nicht



# Tensorprodukt-Bézier-Flächen



## ► Tensorprodukt zweier Vektoren

$$[a_1 \quad a_2 \quad a_3] \otimes [b_1 \quad b_2 \quad b_3] = \begin{bmatrix} a_1 b_1 & a_2 b_1 & a_3 b_1 \\ a_1 b_2 & a_2 b_2 & a_3 b_2 \\ a_1 b_3 & a_2 b_3 & a_3 b_3 \end{bmatrix}$$

## ► das Tensorprodukt angewendet auf die Basen zweier Kurven ergibt eine Basis für eine Flächendarstellung:

$$[A_0^n \quad \dots \quad A_n^n] \otimes [B_0^n \quad \dots \quad B_n^n] = \begin{bmatrix} A_0^n B_0^n & \dots & A_n^n B_0^n \\ \vdots & \ddots & \vdots \\ A_0^n B_n^n & \dots & A_n^n B_n^n \end{bmatrix}$$

# Tensorprodukt-Bézier-Flächen

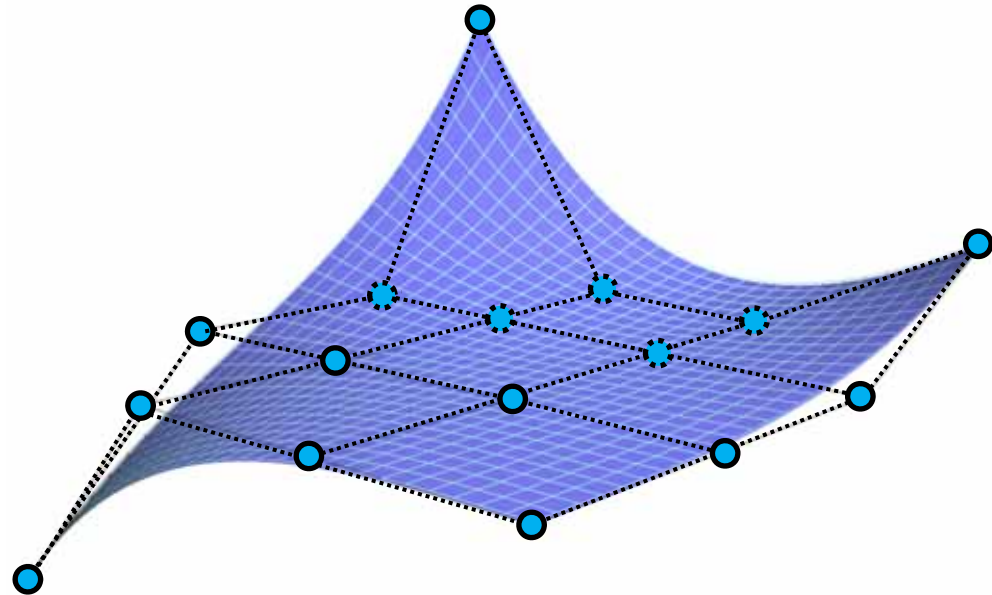
- ▶ gegeben zwei Bézierkurven in  $\mathbb{R}^3$ :

$$F(u) = \sum_{i=0}^n B_i(u) \mathbf{c}_i \text{ und } G(v) = \sum_{j=0}^m B_j(v) \mathbf{d}_j$$

- ▶ das Tensorprodukt ist die TP-Bézier-Fläche:

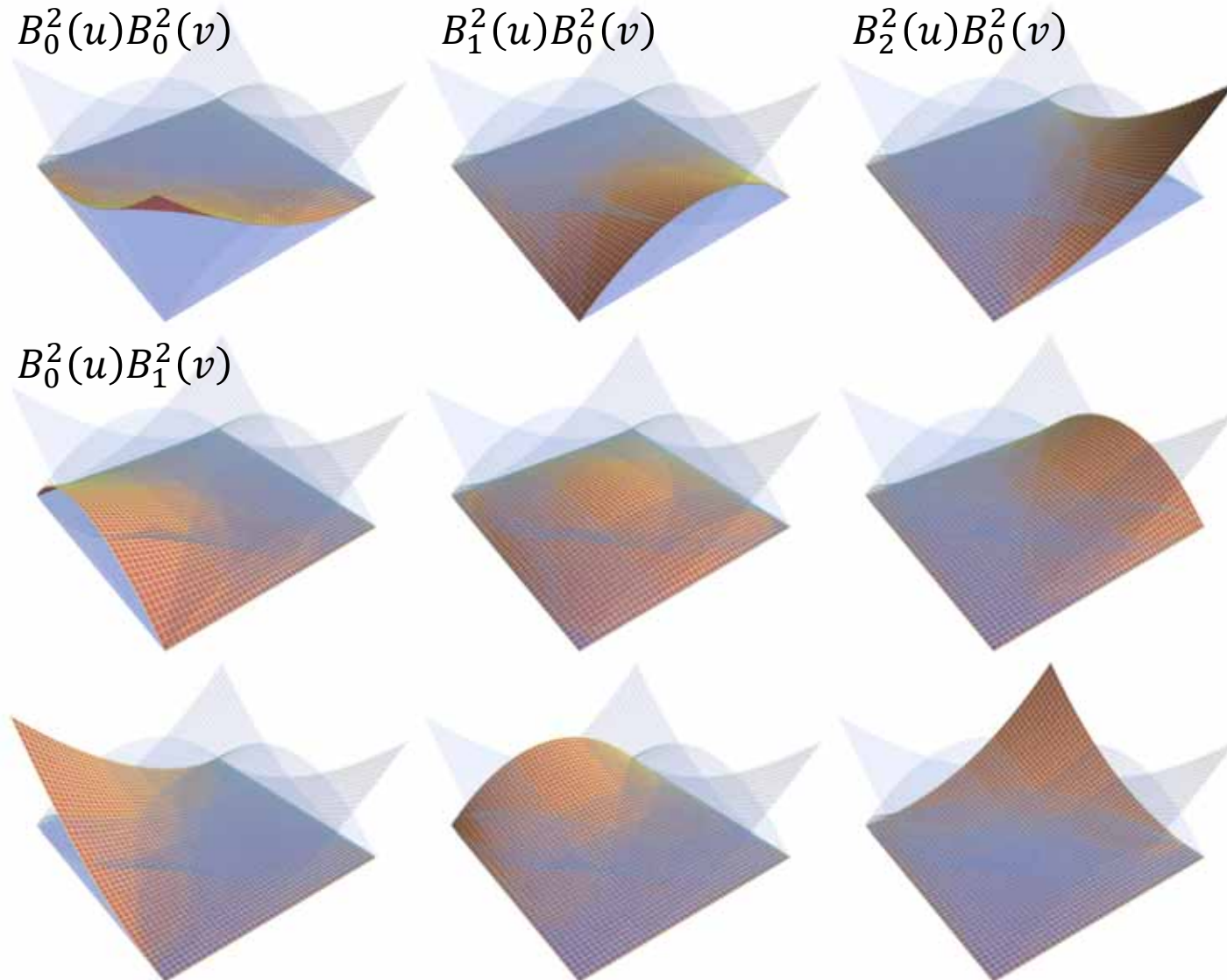
$$S(u, v) := \sum_{i=0}^n \sum_{j=0}^m B_i^n(u) B_j^m(v) \mathbf{b}_{i,j}$$

- ▶ die Kontrollpunkte  $\mathbf{b}_{i,j}$  bilden das **Kontrollnetz**
- ▶ Anm. es sind Kombinationen beliebiger Kurvenschemata und Grade möglich



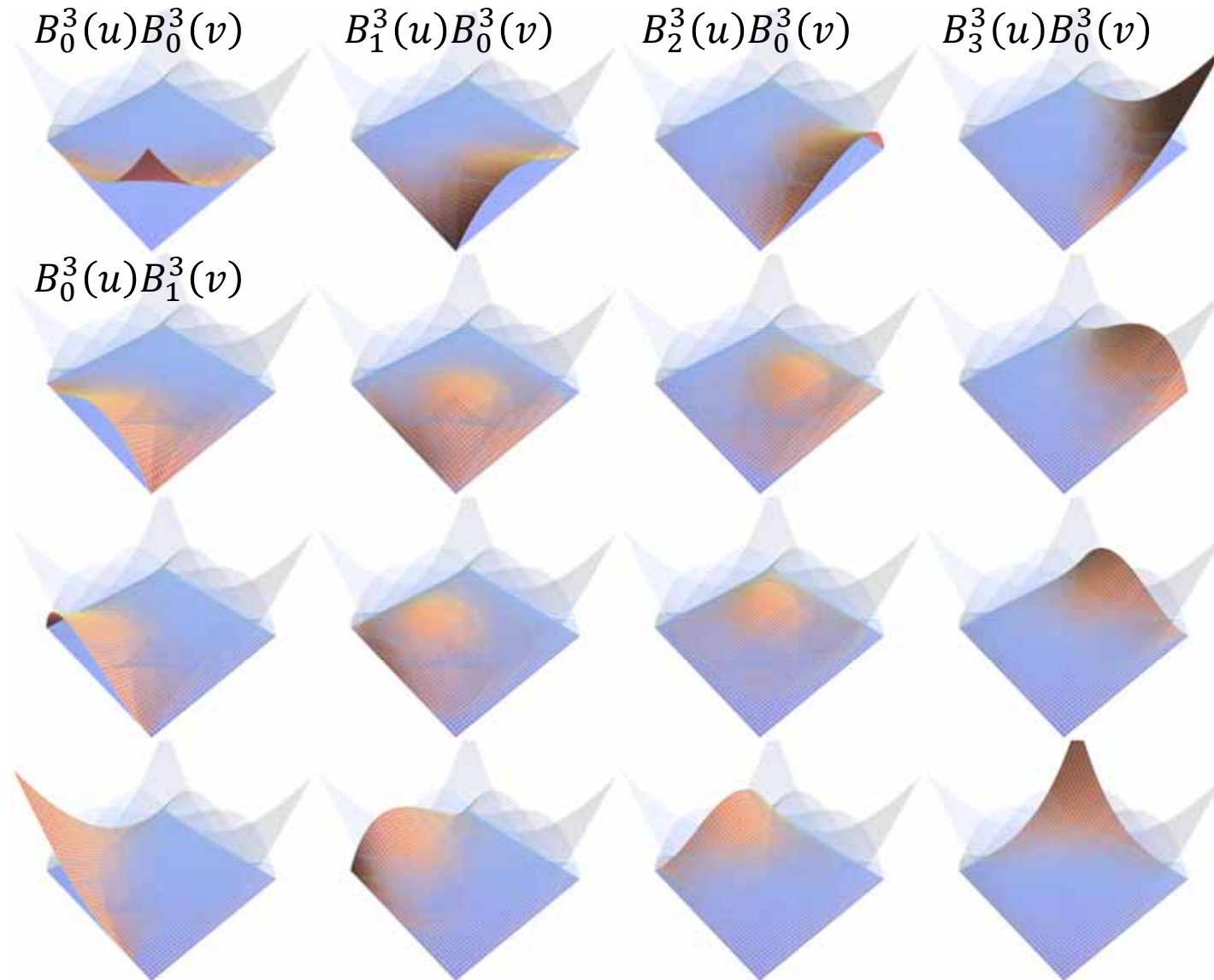
# Tensorprodukt-Bézier-Flächen

► Basisfunktionen  $B_i^2(u)B_j^2(v)$



# Tensorprodukt-Bézier-Flächen

► Basisfunktionen  $B_i^3(u)B_j^3(v)$



# Tensorprodukt-Bézier-Flächen

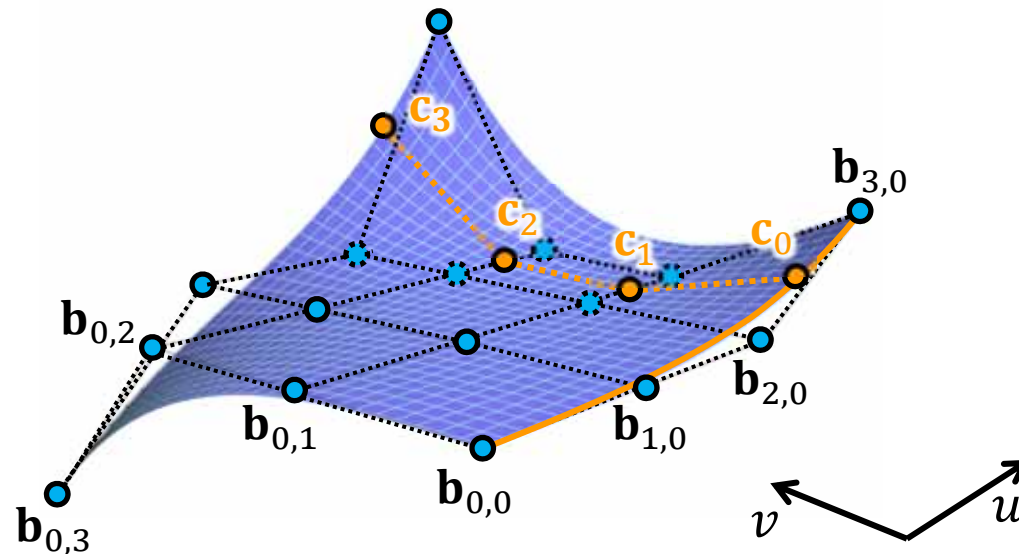
Tensorprodukt-Fläche ist eine „Kurve von Kurven“

► Ausklammern

$$\sum_{i=0}^n \sum_{j=0}^m B_i^n(u) B_j^m(v) \mathbf{b}_{i,j} = \sum_{i=0}^n B_i^n(u) \left( \sum_{j=0}^m B_j^m(v) \mathbf{b}_{i,j} \right) = \sum_{j=0}^m B_j^m(v) \left( \sum_{i=0}^n B_i^n(u) \mathbf{b}_{i,j} \right)$$

►  $u$  festhalten ergibt Kontrollpunkte der  $v$ -Kurve mit  $\mathbf{c}_j = \sum_{i=0}^n B_i^n(u) \mathbf{b}_{i,j}$

► Beispiel:  $u = 3/4$  ergibt 4 Kontrollpunkte  $\mathbf{c}_j$  einer Bézierkurve in  $v$



# Tensorprodukt-Bézier-Flächen

## Formeigenschaften von TP-Bézier-Flächen

- ▶ konvexe Hülle-Eigenschaft
- ▶ Interpolation der 4 Ecken des Kontrollnetzes  $\{\mathbf{b}_{i,j}\}$ 
  - ▶  $S(0,0) = \mathbf{b}_{0,0}$ ,  $S(1,0) = \mathbf{b}_{n,0}$ ,  $S(0,1) = \mathbf{b}_{0,m}$ ,  $S(1,1) = \mathbf{b}_{n,m}$
- ▶ Fläche ist tangential in den Eckpunkten
  - ▶ z.B. bei  $S(0,0)$  tangential zur Ebene aufgespannt von  $\mathbf{b}_{1,0} - \mathbf{b}_{0,0}$  und  $\mathbf{b}_{0,1} - \mathbf{b}_{0,0}$
- ▶ die Randkurven der Fläche sind Bézierkurven
  - ▶ z.B.  $S(0, v) = F(v)$  ist eine Bézierkurve
- ▶ affine Invarianz
- ▶ Variationsreduzierung **gilt nicht!**

# Tensorprodukt-Bézier-Flächen



## Auswertung von TP-Bézier-Flächen

- ▶ wende  $(m + 1)$ -mal den univariaten de Casteljau-Algorithmus in  $u$  an

$$\mathbf{c}_j = \sum_{i=0}^n B_i^n(u) \mathbf{b}_{i,j}$$

- ▶ wende einmal univariaten de Casteljau-Algorithmus in  $v$  an

$$S(u, v) = \sum_{j=0}^m B_j^m(v) \mathbf{c}_j$$

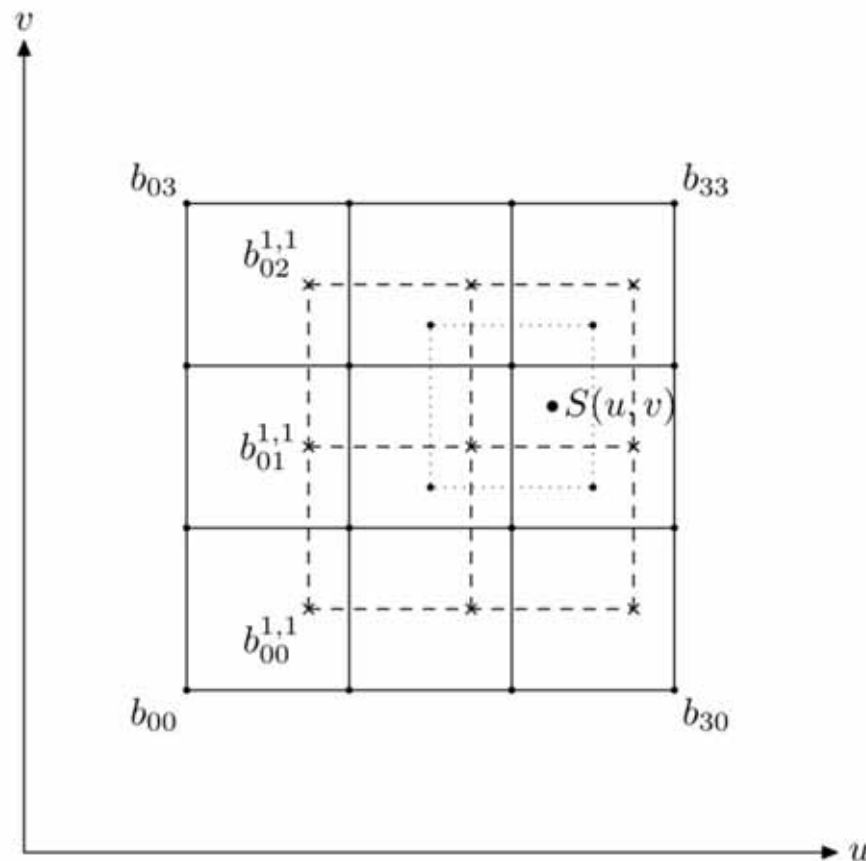
- ▶ ... oder erst in  $v$ -, dann in  $u$ -Richtung auswerten



# Tensorprodukt-Bézier-Flächen

## Auswertung für TP-Bézier-Flächen

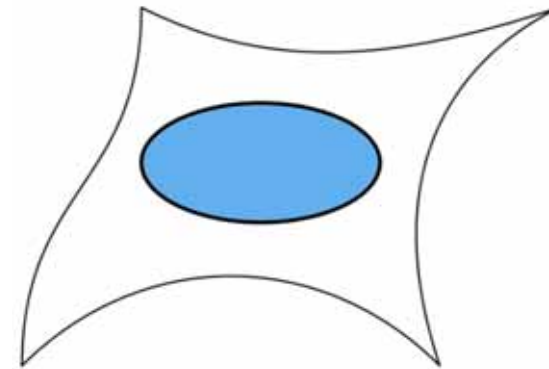
- ▶ de Casteljau für Bézierkurven basiert auf fortgesetzter linearer Interpolation
- ▶ durch bilineare Interpolation lässt sich ein de Casteljau-Algorithmus für Flächen formulieren



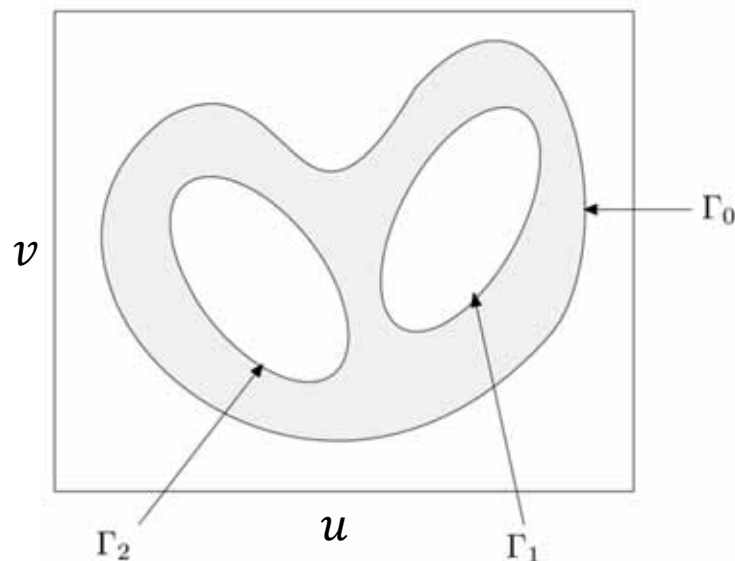
Quake 3 Arena verwendet bikubische Bézier-Flächen

# Ausblicke

- ▶ Trimming („Zuschneiden“) von Flächen:



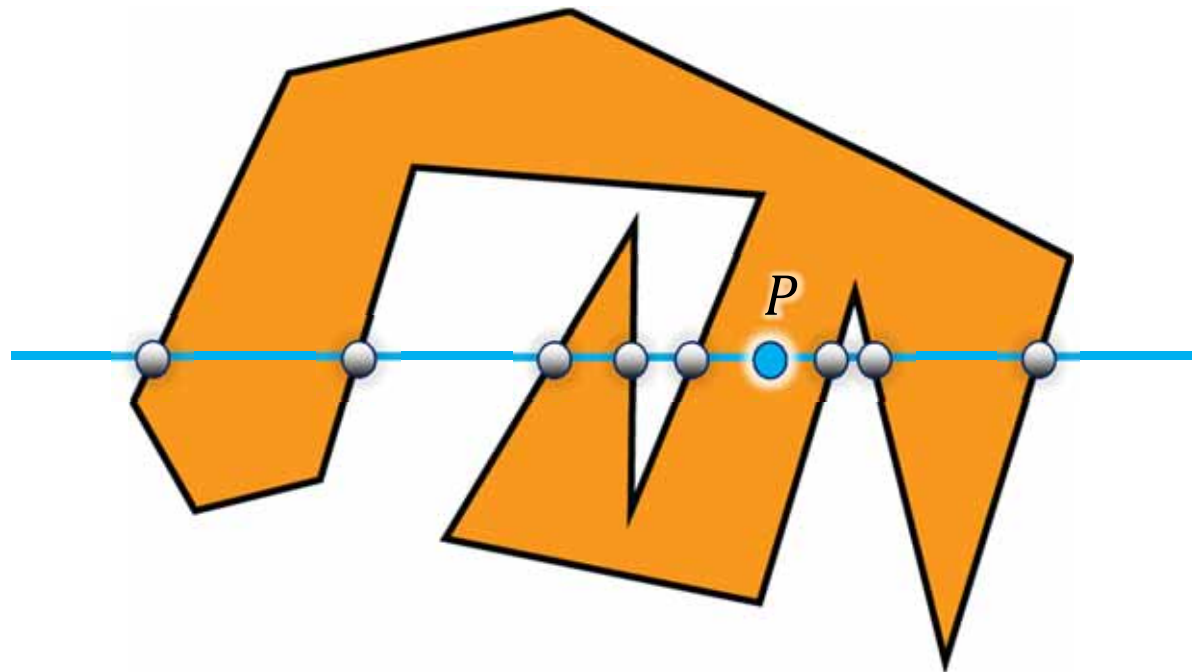
- ▶ bestimme eine Menge von Konturen  $\Gamma_i$  im Parametergebiet die festlegen, ob ein Punkt  $S(u, v)$  zur Fläche gehört
  - ▶ Test ob ein Punkt  $(u, v)$  innerhalb liegt mit Odd-Even-Test



# Allgemeiner Punkt-in-Polygon Test

## Odd-Even Test (für Polygone, Trim-Kurven, Oberflächen in 3D)

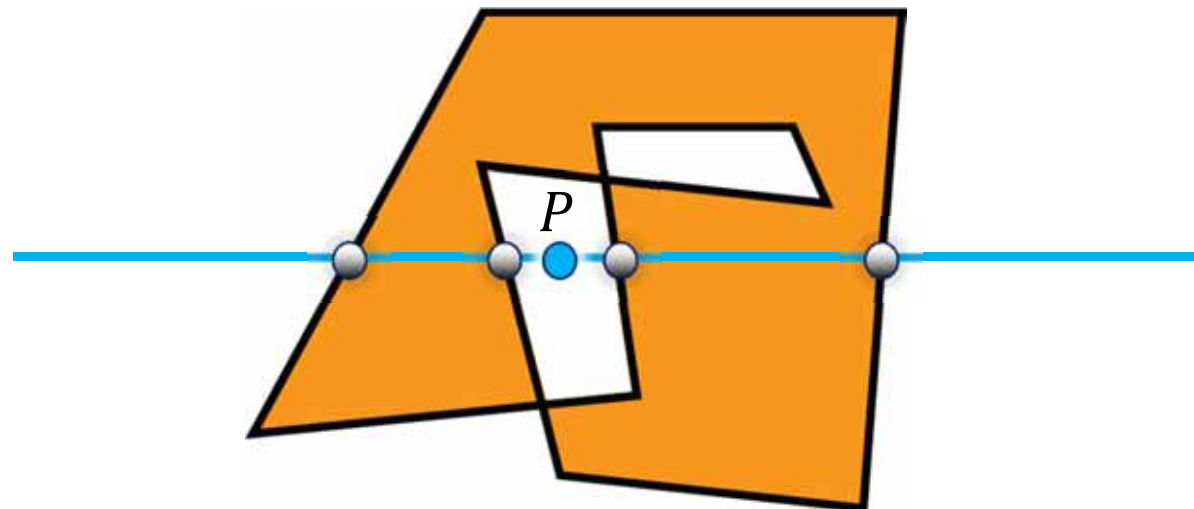
- ▶ Test für Punkt  $P = (x_p, y_p)$ 
  - ▶ betrachte alle Schnitte der Gerade  $y = y_p$  mit den Polygonkanten
  - ▶  $P$  liegt im Polygon  $\Leftrightarrow$  links und rechts eine **ungerade** Zahl von Schnitten existiert
  - ▶  $P$  liegt außerhalb  $\Leftrightarrow$  links und rechts eine **gerade** Zahl von Schnitten existiert



# Allgemeiner Punkt-in-Polygon Test

## Odd-Even Test (für Polygone, Trim-Kurven, Oberflächen in 3D)

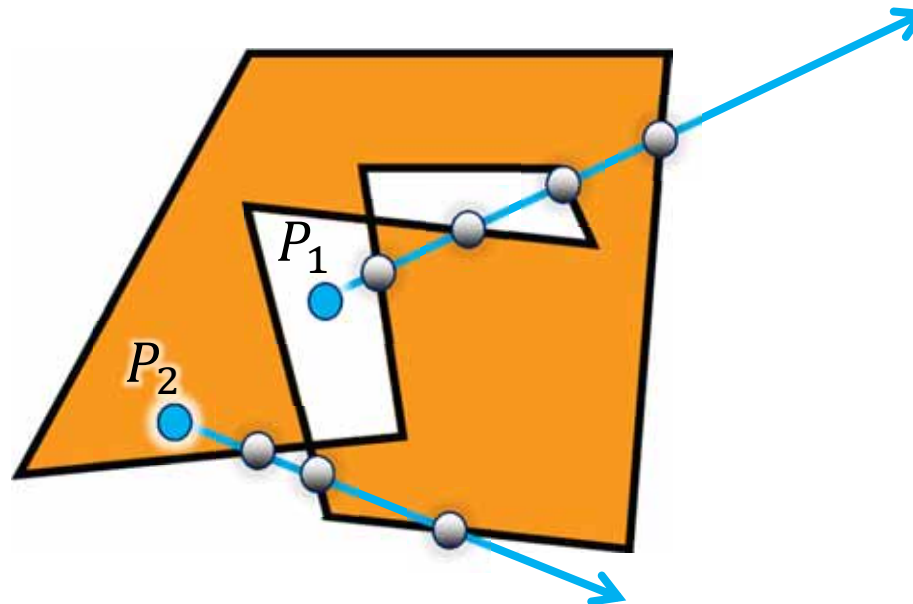
- ▶ Test für Punkt  $P = (x_p, y_p)$ 
  - ▶ betrachte alle Schnitte der Gerade  $y = y_p$  mit den Polygonkanten
  - ▶  $P$  liegt im Polygon  $\Leftrightarrow$  links und rechts eine **ungerade** Zahl von Schnitten existiert
  - ▶  $P$  liegt außerhalb  $\Leftrightarrow$  links und rechts eine **gerade** Zahl von Schnitten existiert



# Allgemeiner Punkt-in-Polygon Test

## Odd-Even Test (für Polygone, Trim-Kurven, Oberflächen in 3D)

- ▶ Test für Punkt  $P = (x_p, y_p)$ 
  - ▶ es genügt auch die Schnitte entlang einer Halbgerade von  $P$  in eine beliebige Richtung zu zählen
  - ▶  $P$  liegt im Polygon  $\Leftrightarrow$  **ungerade** Anzahl
  - ▶  $P$  liegt außerhalb  $\Leftrightarrow$  **gerade** Anzahl

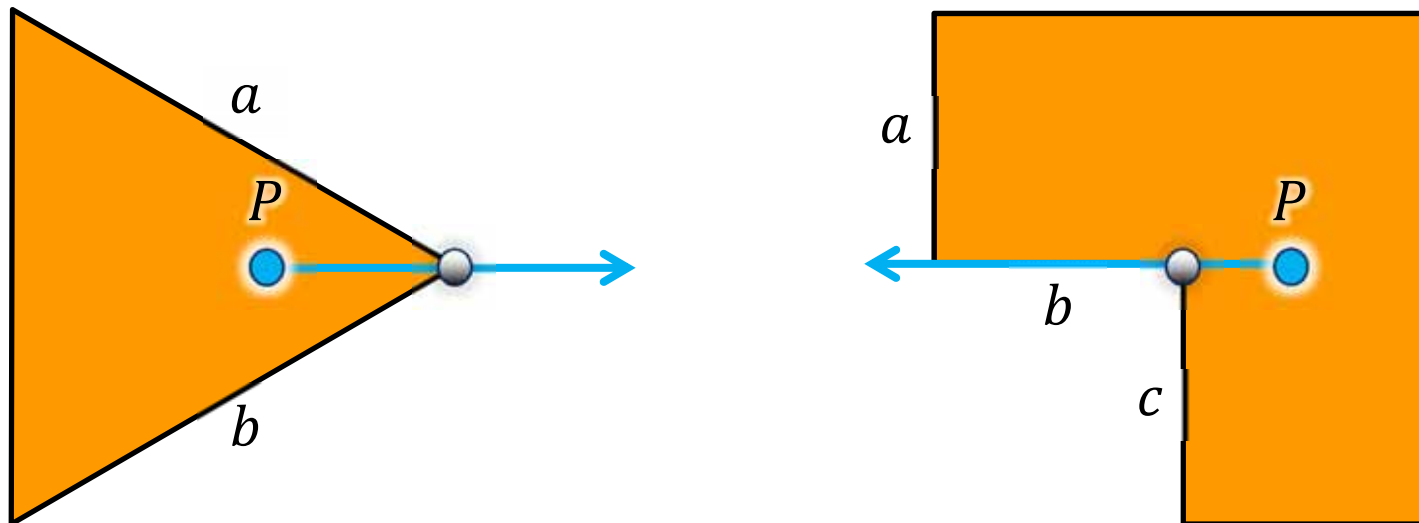


# Allgemeiner Punkt-in-Polygon Test

## Odd-Even Test (für Polygone, Trim-Kurven, Oberflächen in 3D)

### ► Spezialfälle

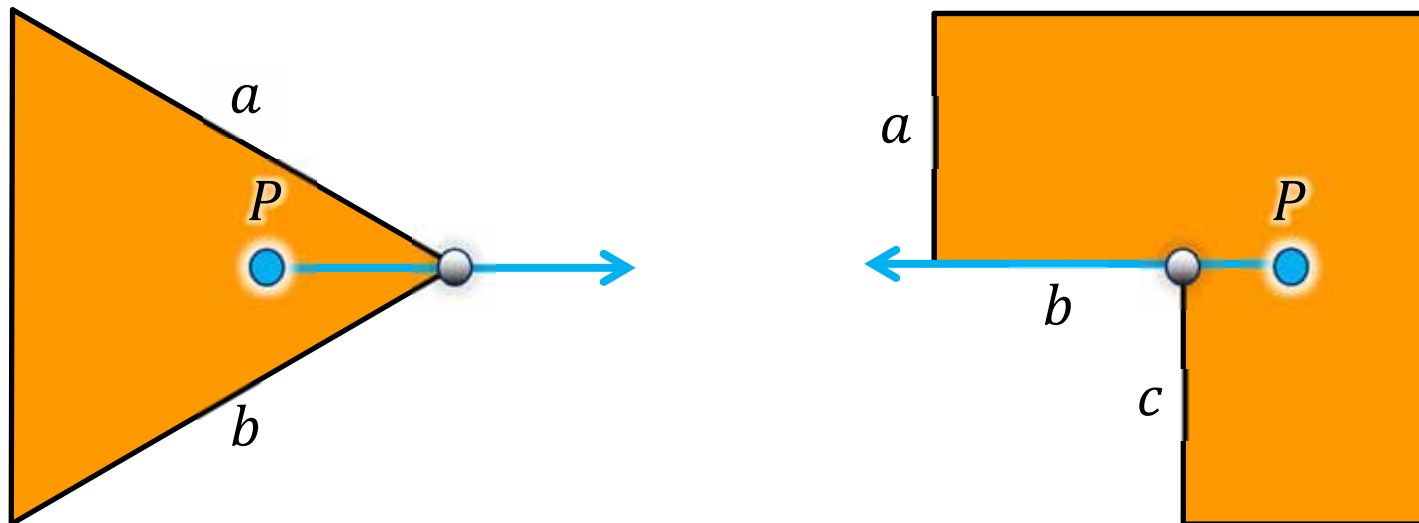
- ▶ liegt ein Eckpunkt des Polygons auf der Gerade  $y = y_p$ , dann darf der Schnitt nur einmal gezählt werden (z.B. nur für Kante  $b$  im linken Bild)
- ▶ zähle Schnitte nicht, für Kanten die auf oder über der Geraden  $y = y_p$  liegen (rechtes Beispiel: der Schnitt zählt nur für Kante  $c$ )



# Allgemeiner Punkt-in-Polygon Test

## Odd-Even Test (für Polygone, Trim-Kurven, Oberflächen in 3D)

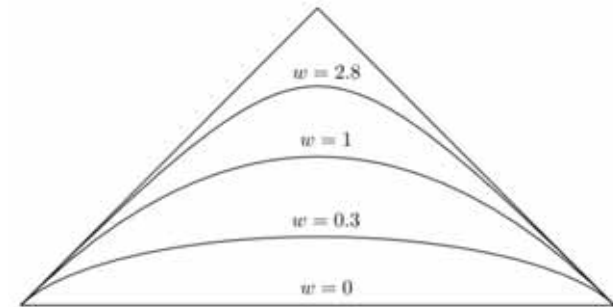
- ▶ Computer Graphics: Principles and Practice (Foley, Van Dam, Feiner, Hughes)
  - ▶ Seite 34: "Next, choose a ray that starts at the test point and extends infinitely in any direction, and that does not pass through any vertices"
  - ▶ Seite 339: "intersections at vertices" are a "special case"
- ▶ Lösung: <http://jedi.ks.uiuc.edu/~johns/raytracer/rtn/rtnv3n4.html#art22>



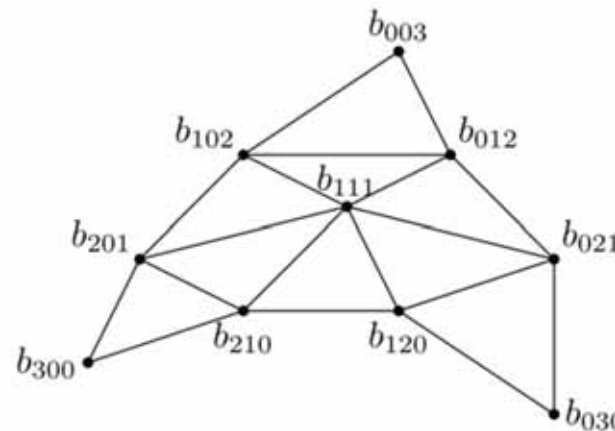
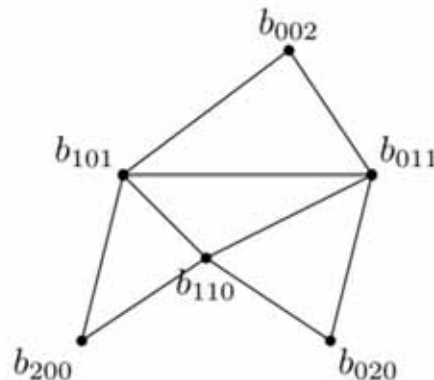
- ▶ mit polynomiellen Kurven ist es nicht möglich Kegelschnitte (z.B. einen Kreisbogen) exakt darzustellen
- ▶ rationale Bézierkurven und rationale B-Spline-Kurven (NURBS)
- ▶ rationale Bézierkurve mit Gewichten  $w_i$ :

$$F(u) = \frac{\sum_{i=0}^n B_i^n(u) w_i \mathbf{b}_i}{\sum_{i=0}^n B_i^n(u) w_i}$$

- ▶ Beispiel: quadratische rationale Bézierkurve



- ▶ Dreiecks-Bézierflächen: mehr topologische Flexibilität
- ▶ Bernstein-Polynome in baryzentrischen Koordinaten  $B_{ijk}^n(t_1, t_2, t_3)$





# Klausur



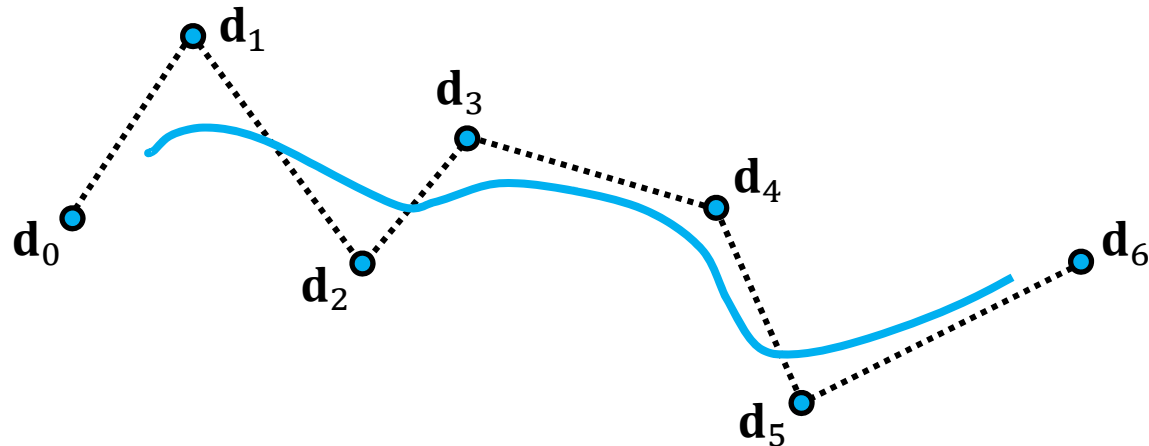
- ▶ **Wann?** 12. März 2013 um 11.00 Uhr
- ▶ **Wo?** Hörsaal „Daimler“ und „Benz“
  - ▶ **wir kündigen auf der Webseite an, wer in welchem Hörsaal schreibt**
- ▶ **Wie lange?** 60 Minuten (plus 5 Minuten Lesezeit)
- ▶ **Anmeldung nicht vergessen!**
  - ▶ Anmeldung: 11. Februar 2013 bis 6. März 2013
- ▶ **Sonstiges...**
  - ▶ keine Hilfsmittel
  - ▶ Studentenausweis nicht vergessen!
- ▶ **Nachklausur:**
  - ▶ 10. April 2013, 14 Uhr, Hörsaal „Daimler“ und „Benz“
  - ▶ → immer Ankündigungen auf der Webseite beachten!

**Die folgenden Folien enthalten „Bonus-Material“**

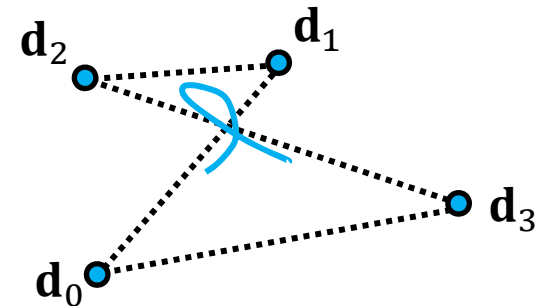
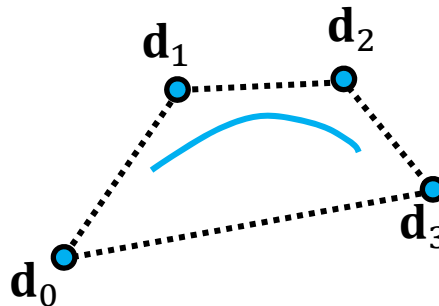
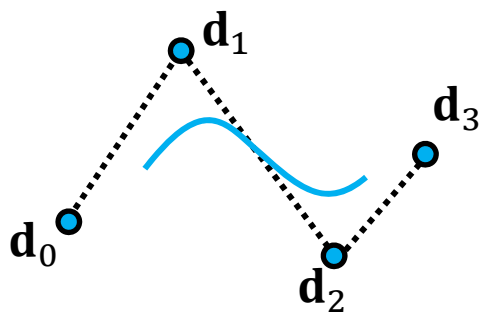
# Kubische B-Splines (Bonusmaterial)

## Kubische B-Splines (Splines mit einer anderen Polynombasis)

- ▶ 4 oder mehr Kontrollpunkte
- ▶ die Kurve ist aus kubischen Segmenten zusammengesetzt
- ▶ die Kurve muss nicht durch Kontrollpunkte verlaufen

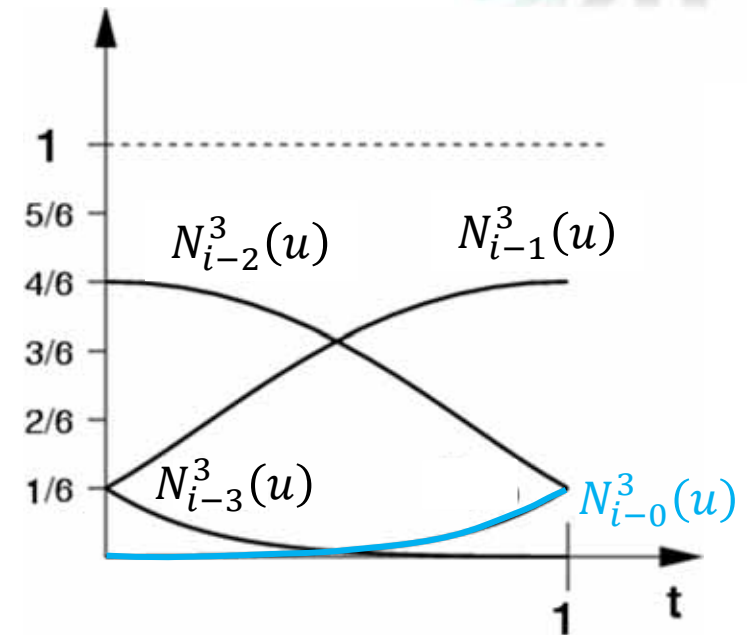
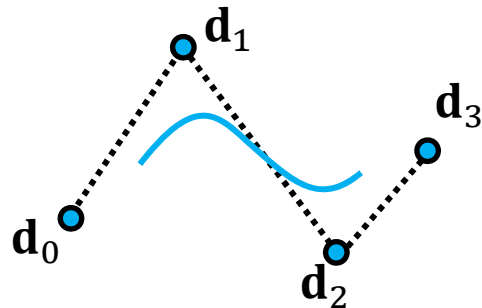


- ▶ eine B-Spline Kurve liegt ebenfalls innerhalb der konvexen Hülle ihrer (lokalen) Kontrollpunkte



# Kubische B-Splines (Bonusmaterial)

► Basisfunktionen  $N_{i-3}^3, N_{i-2}^3, N_{i-1}^3, N_{i-0}^3$



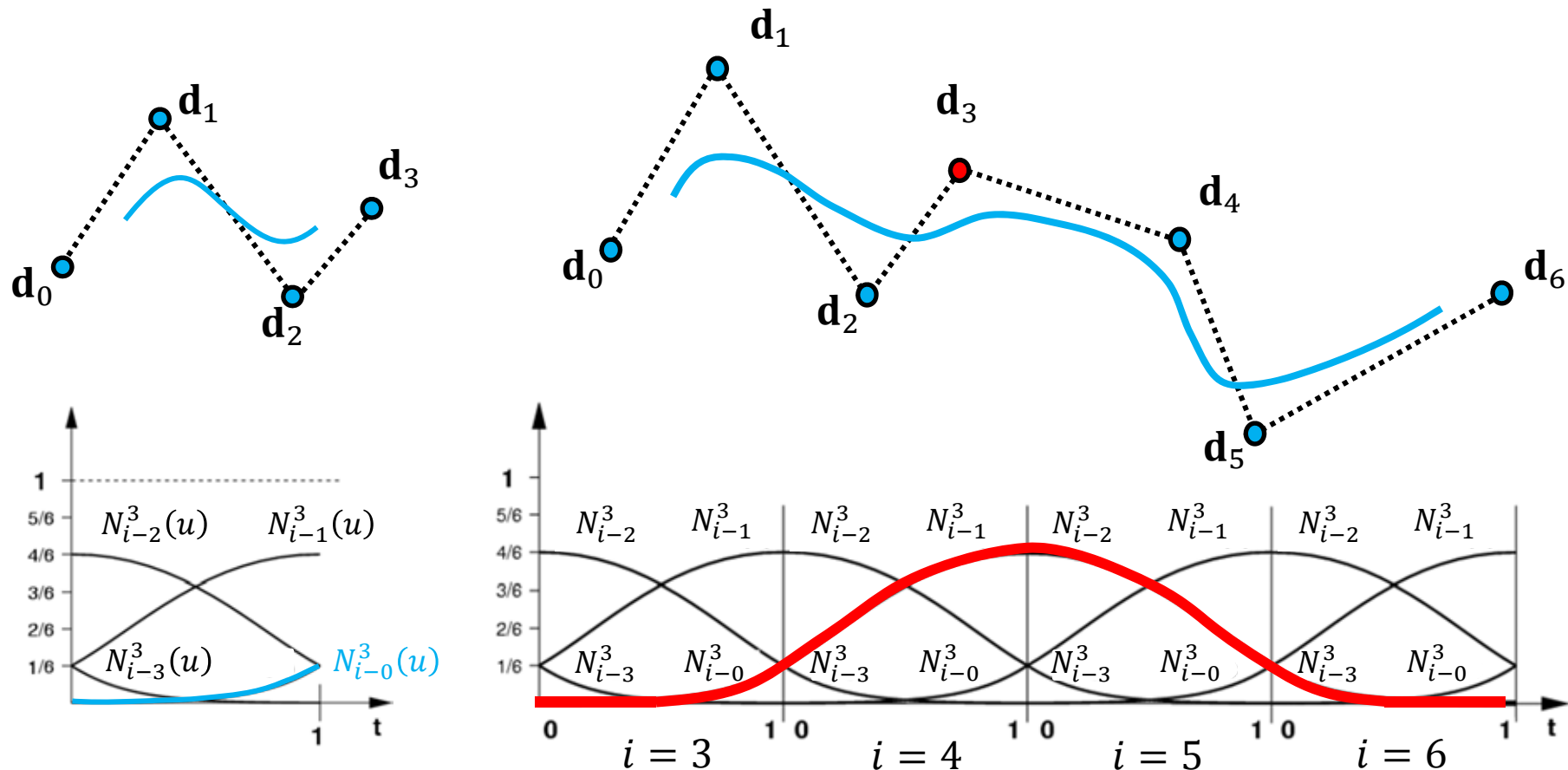
► kubisches Kurvensegment

$$F(u) = \frac{(1-u)^3}{6} \mathbf{d}_{i-3} + \frac{3u^3 - 6u^2 + 4}{6} \mathbf{d}_{i-2} + \frac{-3u^3 + 3u^2 + 3u + 1}{6} \mathbf{d}_{i-1} + \frac{u^3}{6} \mathbf{d}_i$$

$$F(u) = (\mathbf{p}_0, \mathbf{p}_1, \mathbf{p}_2, \mathbf{p}_3) \frac{1}{6} \begin{pmatrix} 1 & -3 & 3 & -1 \\ 4 & 0 & -6 & 3 \\ 1 & 3 & 3 & -3 \\ 0 & 0 & 0 & 1 \end{pmatrix} \begin{pmatrix} 1 \\ u \\ u^2 \\ u^3 \end{pmatrix}$$

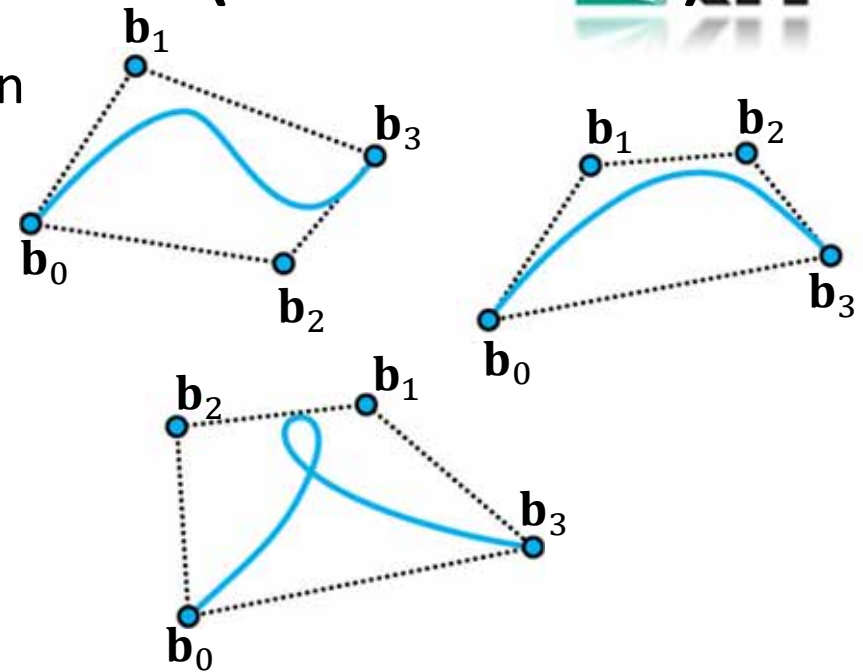
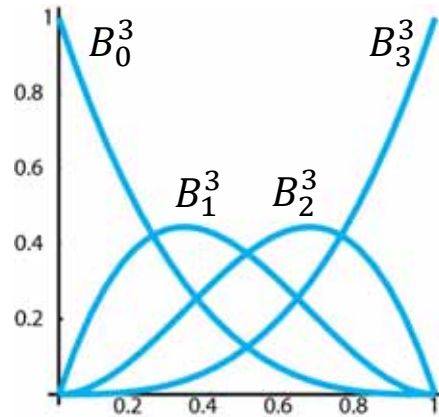
# Kubische B-Splines (Bonusmaterial)

- ▶ Teilkurven können aneinander gereiht werden
- ▶ bessere Kontrolle der Kurve: ein Kontrollpunkt hat nur Einfluss auf einen Teil der B-Spline Kurve

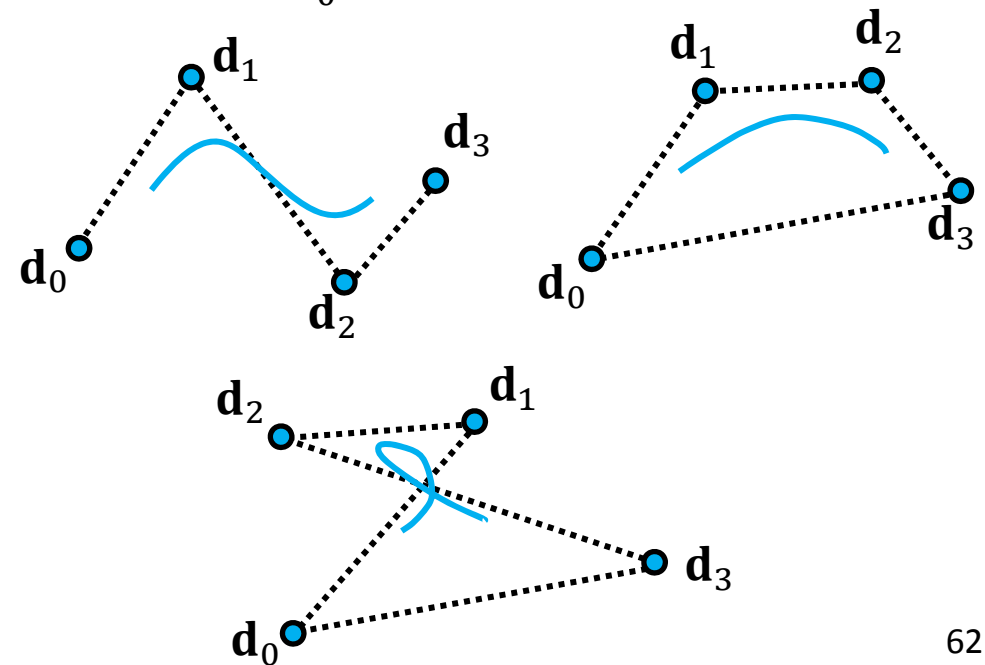
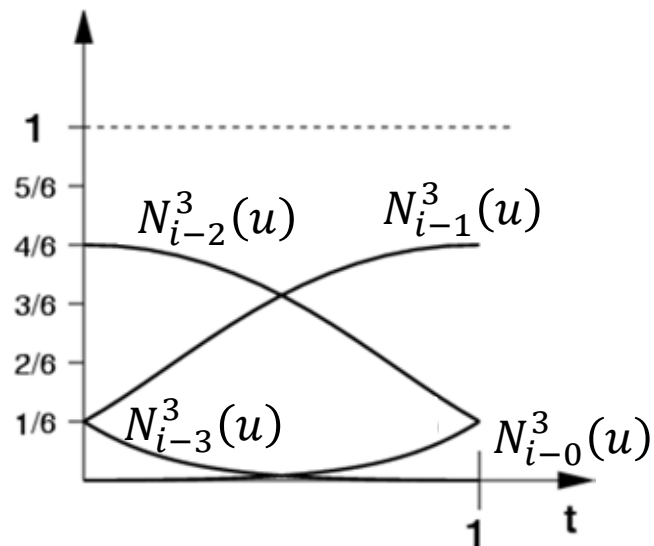


# Vergleich Bézier- und B-Spline-Kurven (Bonusmaterial)

## ► Bernstein-Polynome und Bézierkurven



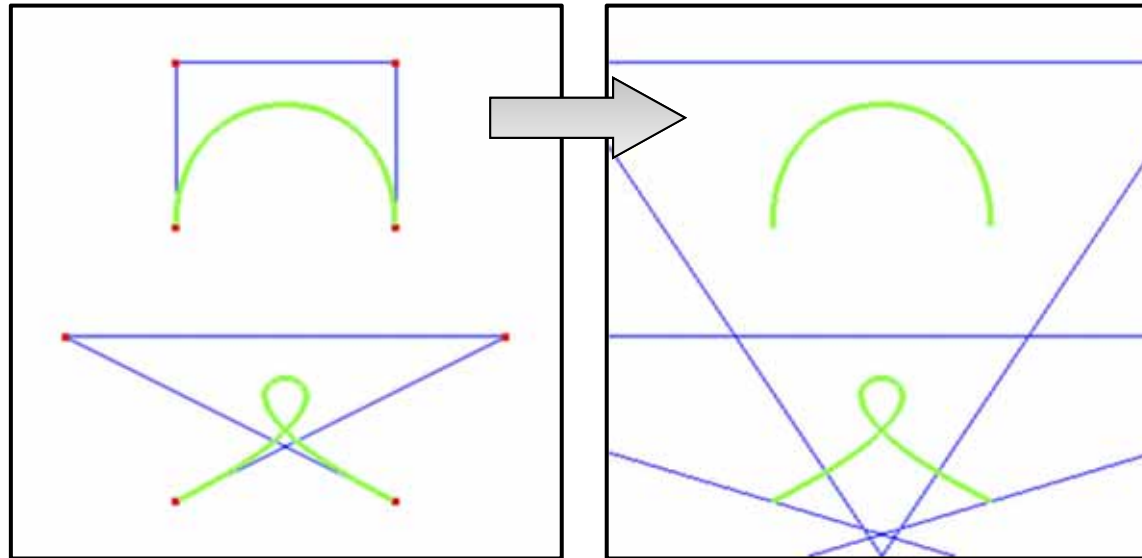
## ► B-Splines und B-Spline-Kurven



# Wechsel zwischen Bézier- & B-Spline Darstellung (Bonus)

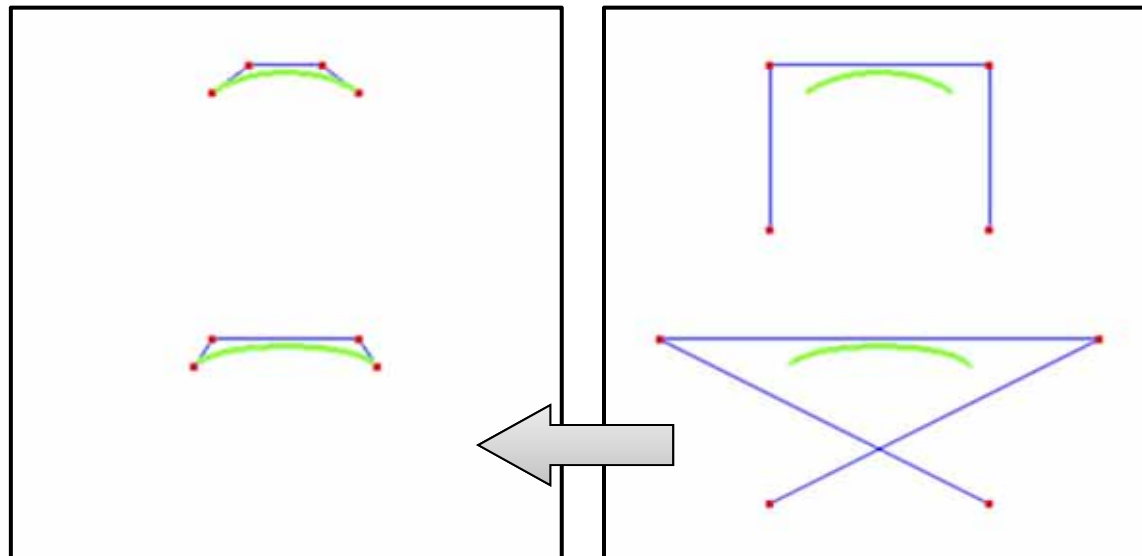
► in beiden Fällen kubische Polynomkurven

ursprüngliche  
Kontrollpunkte  
als Bézierkurve



neue B-Spline  
Kontrollpunkte

neue Bézier  
Kontrollpunkte



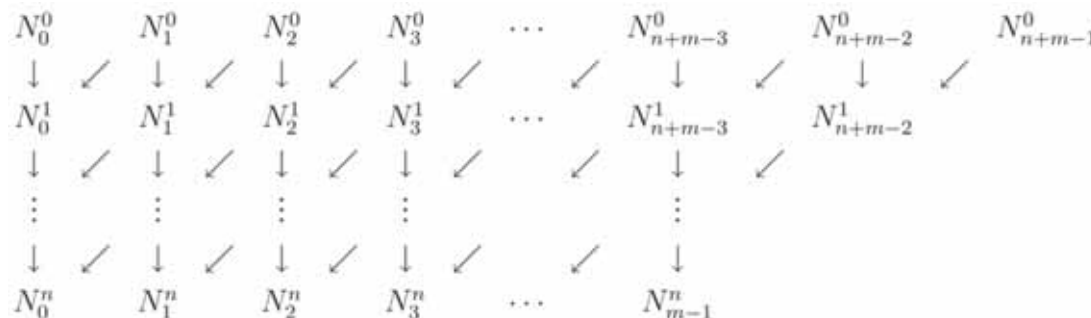
ursprüngliche  
Kontrollpunkte  
der B-Spline-  
Kurve

# B-Splines

- ▶ stückweise polynomielle Kurven mit „eingebauter“ Stetigkeit
  - ▶ Kurven vom Grad  $n \rightarrow$  meist  $C^{n-1}$ -stetig
- ▶ gegeben: Grad  $n$  und
  - ▶ Knoten  $t_0 < t_1 < t_2 < \dots < t_{m+n}$  ( $m$  Anzahl der Kontrollpunkte)
  - ▶ Knotenvektor  $T = (t_i)_{i \in \mathbb{Z}}$  definiert die Parameterintervalle  $[t_i; t_{i+1})$
  - ▶ B-Spline Basisfunktionen  $N_i^k(u)$  sind rekursiv für Grad  $k$  definiert

$$N_i^0(u) = \begin{cases} 1 & t_i \leq u < t_{i+1} \\ 0 & \text{sonst} \end{cases}$$

$$N_i^k(u) = \frac{u - t_i}{t_{i+k} - t_i} N_i^{k-1}(u) + \frac{t_{i+k+1} - u}{t_{i+k+1} - t_{i+1}} N_{i+1}^{k-1}(u), \text{ mit } k = 1, \dots, n$$



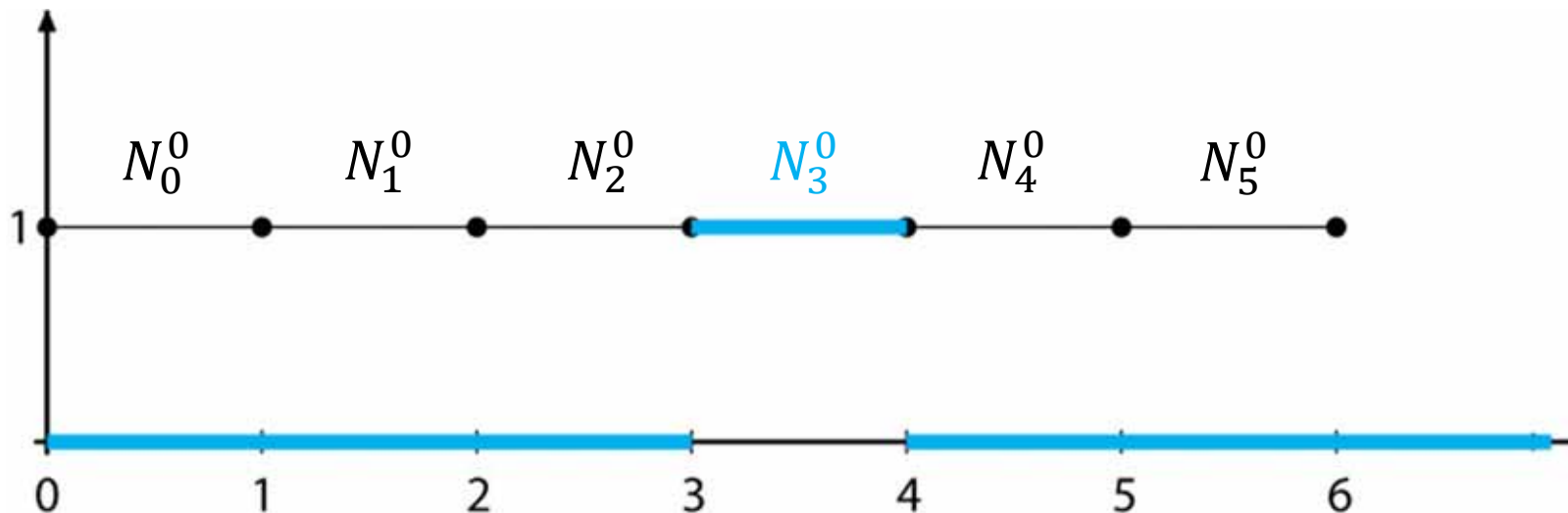


# B-Splines

## Beispiel

► wir wählen den Knotenvektor  $T = (\dots, 0, 1, 2, 3, 4, 5, 6, \dots)$ , d.h.  $t_i = i$

$$k = 0: \quad N_3^0(u) = \begin{cases} 0 & u < 3 \\ 1 & 3 \leq u < 4 \\ 0 & 4 \leq u \end{cases}$$

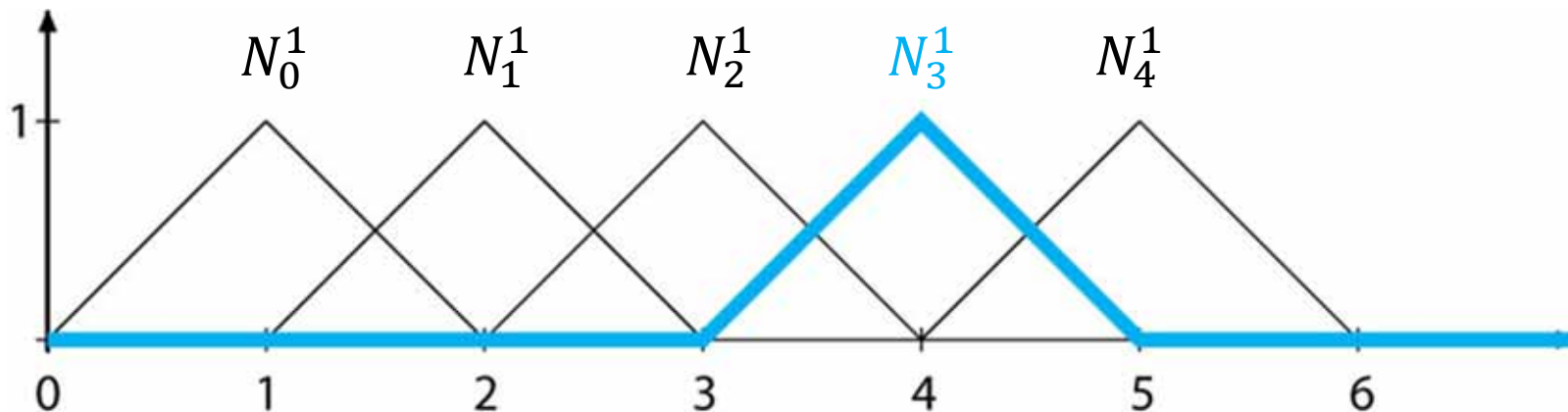


# B-Splines

## Beispiel *cont.*

► wir wählen den Knotenvektor  $T = (\dots, 0, 1, 2, 3, 4, 5, 6, \dots)$ , d.h.  $t_i = i$

$$k = 1: \quad N_3^1(u) = \begin{cases} 0 & u < 3 \\ u - 3 & 3 \leq u < 4 \\ 5 - u & 4 \leq u < 5 \\ 0 & 5 \leq u \end{cases}$$



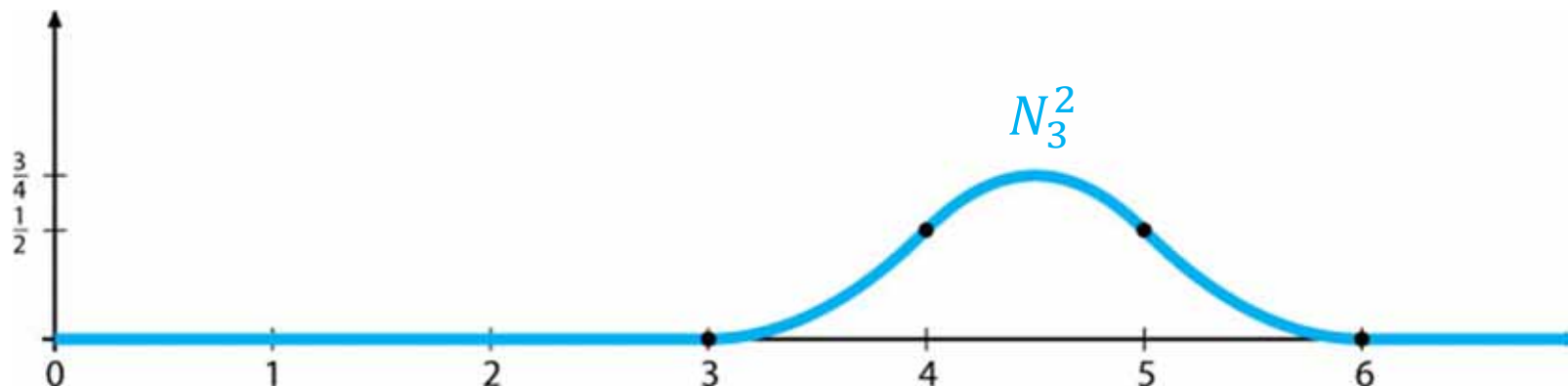
# B-Splines

## Beispiel *cont.*

► wir wählen den Knotenvektor  $T = (\dots, 0, 1, 2, 3, 4, 5, 6, \dots)$ , d.h.  $t_i = i$

$$k = 2: \quad N_3^2(u) = \frac{u-3}{5-3} N_3^1(u) + \frac{u-3}{5-3} N_4^1(u)$$

$$= \begin{cases} 0 & u < 3 \vee 6 \leq u \\ \frac{1}{2}(u-3)^2 & 3 \leq u < 4 \\ \frac{1}{2}((u-3)(5-u) + (6-u)(u-4)) & 4 \leq u < 5 \\ \frac{1}{2}(6-u)^2 & 5 \leq u < 6 \end{cases}$$



# B-Splines

## Eigenschaften

- ▶  $N_i^k$  ist stückweise polynomiell vom Grad  $k$
- ▶ Träger von  $N_i^k$ :  $\text{supp}(N_i^k) := \{u | N_i^k(u) \neq 0\} = [t_i; t_{i+k+1}]$ 
  - ▶ d.h. der Träger besteht aus  $k + 1$  Intervallen pro Abschnitt
- ▶ Positivität:  $N_i^k(u) > 0$  für  $u \in (t_i; t_{i+k+1})$
- ▶ Partition der 1:  $\sum_{i=0}^{m-1} N_i^n(u)$

# B-Spline Kurven

## Definition

- ▶ gegeben: Grad  $n$  und Knotenvektor  $T = (t_i)_{i \in \mathbb{Z}}$ 
  - ▶ Kontrollpunkte  $\mathbf{d}_0, \mathbf{d}_1, \dots, \mathbf{d}_{m-1} \in \mathbb{R}^2$  oder  $\mathbb{R}^3$ 
    - ▶ heißen auch *de Boor*-Punkte (Carl de Boor, 1972) und bilden wieder ein Kontrollpolygon
  - ▶ B-Spline Kurve

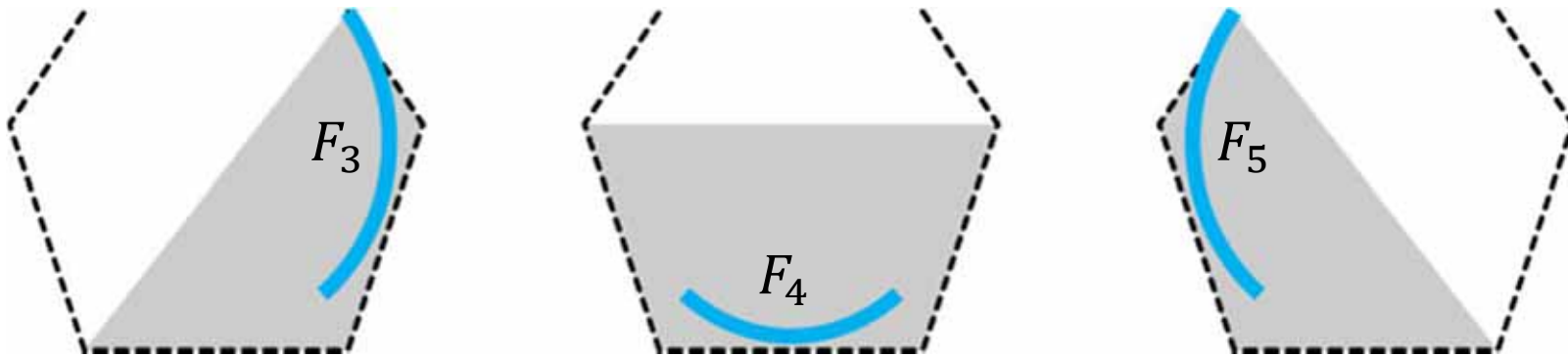
$$F(u) := \sum_{i=0}^{m-1} N_i^n(u) \mathbf{d}_i$$

- ▶ Anm. der sogenannte *de Boor-Algorithmus* ist das Analogon zum de Casteljau-Algorithmus für Bézierkurven

# B-Spline Kurven

## Eigenschaften

- ▶ B-Spline Kurve  $F(u) := \sum_{i=0}^{m-1} N_i^n(u) \mathbf{d}_i$ 
  - ▶ i.A. **keine Endpunktinterpolation**
  - ▶ für  $t_i \leq u < t_{i+1}$  liegt  $F(u)$  in der abgeschlossenen konvexen Hülle der  $(n + 1)$ -vielen Kontrollpunkte  $\mathbf{d}_{i-n}, \dots, \mathbf{d}_i$  („**lokale konvexe Hülle**“)

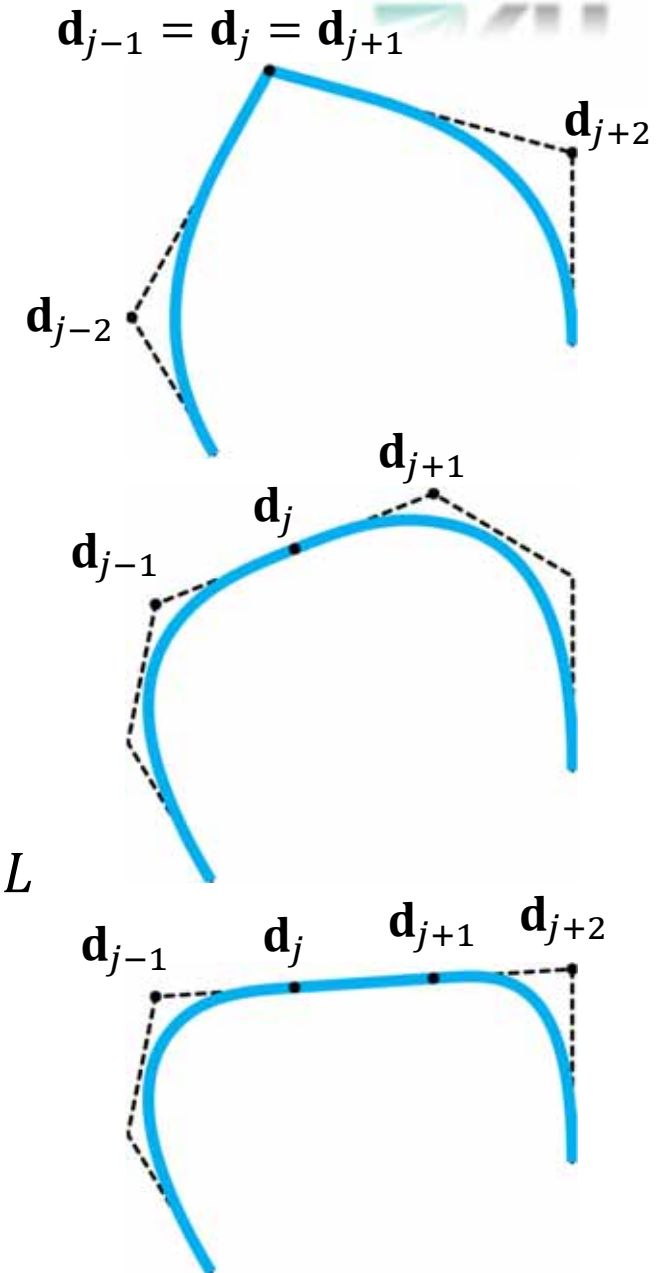


- ▶ **lokale Kontrolle**: für  $u \in [t_i; t_{i+1})$  ist die Kurve unabhängig von  $\mathbf{d}_j$  mit  $j < i - n$  und  $j > i$

# B-Spline Kurven

## Eigenschaften *cont.*

- ▶ fallen  $n$  Kontrollpunkte zusammen  
→ Kurve verläuft durch diesen Punkt und ist dort tangentiell an das Kontrollpolygon
- ▶ liegen  $n$  Kontrollpunkte auf einer Gerade  
→ die Kurve berührt Gerade
- ▶ liegen  $n + 1$  Kontrollpunkte auf einer Geraden  $L$   
→ es gilt:  
 $F(u) \in L$  für  $t_i \leq u < t_{i+1}$ , d. h. ein Segment der Kurve  $F(u)$  liegt auf  $L$



# B-Spline Kurven

## Eigenschaften cont.

- ▶ fallen  $n$  Knoten  $t_i = t_{i+1} = \dots = t_{i+n+1}$  zusammen  
→  $F(t_i) = \mathbf{d}_i$ , d.h. die Kurve verläuft durch einen Kontrollpunkt und ist dort tangentiell an das Kontrollpolygon
  
- ▶ affine Invarianz
  - ▶  $\varphi\left(\sum_{i=0}^{m-1} N_i^n(u) \mathbf{d}_i\right) = \sum_{i=0}^{m-1} N_i^n(u) \varphi(\mathbf{d}_i)$
  
- ▶ Variationsreduzierung
  - ▶ sei  $H$  eine Hyperebene in  $\mathbb{R}^d$  dann gilt  $\#(H \cap F) \leq \#(H \cap B)$